

# Rapport préliminaire – Audit d'OpenSSL

<b>Date</b>	5 février 2014
<b>Rédigé par</b>	Claire Smets, William Boisseleau, Pascal Edouard, Mathieu Latimier, Julien Legras
<b>À l'attention de</b>	Ayoub Otmani

# Table des matières

Introduction . . . . .	9
<b>1 Entropie</b>	<b>10</b>
1.1 Définitions et contexte . . . . .	10
1.1.1 Introduction . . . . .	10
1.1.2 Estimation de l'entropie générée par la source . . . . .	10
1.1.3 Concept d'entropie . . . . .	10
1.1.4 Source d'entropie . . . . .	11
1.1.5 Standards . . . . .	13
1.1.5.1 RFC 4086 . . . . .	13
1.1.5.1.1 Sous Linux . . . . .	13
1.1.5.1.2 Sous Windows . . . . .	14
1.1.5.1.3 Sous OpenBSD et FreeBSD . . . . .	15
1.1.5.1.4 Autres systèmes . . . . .	15
1.1.5.2 FIPS 140 . . . . .	15
1.2 Une backdoor dans nos systèmes cryptographiques ? . . . . .	16
1.2.1 L'affaire Snowden et les documents top secrets de la NSA . . . . .	16
1.2.2 Le NIST et l'algorithme Dual EC DRBG . . . . .	17
1.2.3 ... Et OpenSSL ? . . . . .	18
1.3 Audits . . . . .	18
1.3.1 Audit 1.1 : Le cas Debian 4.0 et OpenSSL 0.9.8 . . . . .	18
1.3.1.1 Normes visées . . . . .	18
1.3.1.2 Description de la faille . . . . .	19
1.3.1.3 Tests . . . . .	20
1.3.1.4 Implémentation . . . . .	20
1.3.1.5 Conclusion . . . . .	21
1.3.2 Audit 1.2 : Le cas LinuxMintDebianEdition sous Android . . . . .	21
1.3.2.1 Normes visées . . . . .	21
1.3.2.2 Description de la faille . . . . .	21
1.3.2.3 Implémentation . . . . .	21
1.3.2.4 Conclusion . . . . .	22
1.3.3 Audit 1.3 : NetBSD 6.0 et OpenSSH . . . . .	22
1.3.3.1 Norme visée . . . . .	22
1.3.3.2 Description de la faille . . . . .	22
1.3.3.3 Implémentation . . . . .	22
1.3.3.4 Conclusion . . . . .	23

1.4	Recommandations sur la conception . . . . .	24
1.4.1	Modélisation et validation . . . . .	24
1.4.2	Source d'entropie absolue . . . . .	24
1.4.3	Bruit de la source . . . . .	24
1.4.4	Composant de conditionnement . . . . .	25
1.4.5	Batterie de tests . . . . .	25
1.4.5.1	Tests sur le bruit . . . . .	25
1.4.5.2	Tests sur le conditionnement . . . . .	26
1.5	Tests effectifs sur l'entropie fournie par les sources d'entropie . . . . .	26
1.5.1	Déterminer si les données sont IID . . . . .	26
1.5.1.1	Tests sur l'indépendance et la stabilité . . . . .	26
1.5.1.1.5	Score de compression . . . . .	29
1.5.1.1.6	Scores <i>Over/Under Runs</i> (2) . . . . .	30
1.5.1.1.7	Score excursion . . . . .	32
1.5.1.1.8	Scores Runs directionnel (3) . . . . .	32
1.5.1.1.9	Score de covariance . . . . .	33
1.5.1.1.10	Score de collision (3) . . . . .	34
1.5.1.2	Test statistique spécifique : $\chi^2$ . . . . .	34
1.5.2	Déterminer l'entropie minimale des sources IID . . . . .	35
<b>2</b>	<b>Génération des clés</b>	<b>37</b>
2.1	Définitions et contexte . . . . .	37
2.2	Audits . . . . .	37
2.2.1	Audit 1 : Le générateur de Diffie-Hellman . . . . .	37
2.2.1.1	Normes visées . . . . .	37
2.2.1.2	Faible . . . . .	37
2.2.1.3	Implémentation . . . . .	38
2.2.2	Audit 2 : Diffie-Hellman Ephémère en mode FIPS . . . . .	38
2.2.2.1	Normes visées . . . . .	38
2.2.2.2	Faible . . . . .	38
2.2.2.3	Implémentation . . . . .	39
2.2.3	Audit 1 : Le générateur de Diffie-Hellman . . . . .	39
2.2.3.1	Normes visées . . . . .	39
2.2.3.2	Faible . . . . .	39
2.2.3.3	Implémentation . . . . .	39
2.2.4	Audit 1 : Le générateur de Diffie-Hellman . . . . .	40
2.2.4.1	Normes visées . . . . .	40
2.2.4.2	Faible . . . . .	40
2.2.4.3	Implémentation . . . . .	40
2.3	Recommandations générales . . . . .	41
<b>3</b>	<b>Chiffrement et Protocoles</b>	<b>42</b>
3.1	Définitions et contexte . . . . .	42
3.2	Audits . . . . .	42
3.2.1	Audit 1 : Les "Manger's attack" sur RSA-OAEP . . . . .	42
3.2.1.1	Normes visées . . . . .	42

3.2.1.2	Faible	42
3.2.1.3	Implémentation	42
3.2.1.4	Conclusion	43
3.2.2	Audit 2 : Chiffrement SSLv3 ou TLS 1.0 en mode CBC	43
3.2.2.1	Normes visées	43
3.2.2.2	Description de la faille	43
3.2.2.3	Tests	44
3.2.2.4	Recommandations	44
3.2.3	Audit 3 : Non-validation des certificats SSL	44
3.2.3.1	Normes visées	44
3.2.3.2	Description de la faille	44
3.2.3.3	Difficultés du code OpenSSL	45
3.2.3.4	Exemple : Trillian	46
3.2.3.5	Conclusion	46
3.3	Recommandations générales	47
<b>4</b>	<b>Signature et authentification</b>	<b>48</b>
4.1	Définitions et contexte	48
4.2	Audits	48
4.2.1	Audit 1 : Attaque par injection de fautes sur les certificats RSA	48
4.2.1.1	Normes visées	48
4.2.1.2	Faible	49
4.2.1.3	Implémentation	50
4.2.2	Audit 2 : Malformation des signatures DSA/ECDSA	50
4.2.2.1	Normes visées	50
4.2.2.2	Faible	50
4.2.2.3	Implémentation	50
4.3	Recommandations générales	51
<b>5</b>	<b>Protocoles SSL/TLS</b>	<b>52</b>
5.1	Définitions et contexte	52
5.2	Audits	54
5.2.1	Audit 1 : SSL version 2	54
5.2.1.1	Spécifications	54
5.2.1.2	Implémentation	54
5.2.2	Audit 2 : SSL version 3	55
5.2.2.1	Spécifications	55
5.2.2.2	Implémentation	56
5.2.2.3	Faibles	57
5.2.2.3.1	CVE-2013-4353	57
5.2.2.3.2	Attaque sur le padding CBC de Serge Vaudenay	57
5.2.2.3.3	CVE-2011-4576	58
5.2.3	Audit 3 : TLS version 1	58
5.2.3.1	Spécifications	58
5.2.3.2	Implémentation	61
5.2.3.3	Faibles	62

5.2.3.3.1	Attaque sur le padding CBC de Serge Vaudenay . . . . .	62
5.2.4	Audit 4 : TLS version 1.1 . . . . .	62
5.2.4.1	Spécifications . . . . .	62
5.2.4.2	Implémentation . . . . .	63
5.2.4.3	Failles . . . . .	64
5.2.4.3.2	CVE-2012-2333 . . . . .	64
5.2.4.3.3	Lucky Thirteen CVE-2013-0169 . . . . .	64
5.2.5	Audit 5 : TLS version 1.2 . . . . .	65
5.2.5.1	Spécifications . . . . .	65
5.2.5.2	Implémentation . . . . .	65
5.2.5.3	Failles . . . . .	66
5.2.5.3.1	CVE-2012-2333 . . . . .	66
5.2.5.3.2	CVE-2013-6449 . . . . .	66
Conclusion	. . . . .	67

# Table des figures

1.1	Composants d'une source d'entropie. <code>out1</code> est une chaîne binaire de taille quelconque et <code>out2</code> est une chaîne binaire conditionnée de taille fixe. . . . .	12
1.2	Structure de validation de données $d$ par un test $t$ . <i>Out</i> vaut " $ Rangs \leq 50 \ \&\& \ Rangs \geq 950 $ "	29
1.3	Calcul du score de compression . . . . .	30
2.1	Titre de figure 2.1 . . . . .	41
3.1	Titre de figure 2.1 . . . . .	47
4.1	Titre de figure 2.1 . . . . .	51
5.1	Schéma global d'une connexion SSL/TLS . . . . .	53

# Liste des tableaux

5.1	Algorithmes supportés SSLV2 . . . . .	54
5.2	Algorithmes supportés par OpenSSL SSLv2 . . . . .	54
5.3	Algorithmes supportés SSLv3 . . . . .	55
5.4	Algorithmes supportés par OpenSSL, SSLv3 . . . . .	56
5.5	Algorithmes supportés TLS1 . . . . .	59
5.6	Algorithmes supplémentaires AES - RFC3268 TLS1 . . . . .	60
5.7	Algorithmes supplémentaires Camellia - RFC3268 TLS1 . . . . .	60
5.8	Algorithmes supplémentaires SEED - RFC3268 TLS1 . . . . .	61
5.9	Gestion des extensions dans la poignée de main avec OpenSSL . . . . .	63
5.10	Algorithmes supplémentaires RFC 5054 TLSv1.1 . . . . .	63
5.11	Algorithmes supplémentaires - RFC 5289 TLSv1.2 . . . . .	65

# Listings

1.1	md_rand.c	20
1.2	ssleay_rand_bytes.c	21
1.3	subr_cprng.c(1)	23
1.4	subr_cprng.c(2)	23
2.1	codeAleatoire.c	38
2.2	codeAleatoire.c	39
2.3	codeAleatoire.c	39
2.4	codeAleatoire.c	40
3.1	rsa_oaep.c	43
4.1	codeAleatoire.c	50
4.2	codeAleatoire.c	51
5.1	patch-cve-2013-4353	57
5.2	patch-cve-2011-4576	58
5.3	constantes protocole TLS	61
5.4	Constantes TLS 1.2	65
5.5	patch-cve-2013-6449	66



## Introduction

Ceci est l'introduction

# Chapitre 1

## Entropie

### 1.1 Définitions et contexte

#### 1.1.1 Introduction

Cette partie explicite les notions d'entropie nécessaires pour la définition d'aléatoire de certains programmes. Il décrit aussi en particulier les sources de génération de bits aléatoires et leurs tests liés.

Trois axes principaux sont nécessaires à la mise en place d'un générateur cryptographique aléatoire de bits :

- Une source de bits aléatoires (source d'entropie)
- Un algorithme pour accumuler ces bits reçus et les faire suivre vers l'application en nécessitant.
- Une méthode appropriée pour combiner ces deux premiers composants

#### 1.1.2 Estimation de l'entropie générée par la source

Il est tout d'abord important de vérifier que la source d'entropie choisie produit suffisamment d'entropie, à un taux égalant voire dépassant une borne fixée. Pour ce faire, il faut définir avec précision la quantité d'entropie générée par la source. Il est de plus important de considérer les différents comportements des composants de la source, afin d'éliminer les interactions qu'ils peut y avoir entre les composants. En effet, ceci peut provoquer une redondance dans la génération d'entropie si cela n'est pas considéré. Étant donné une source biaisée, l'entropie générée sera conditionnée et donc plus facilement prévisible/estimable.

La source d'entropie doit donc être minutieusement choisie, sans qu'aucune interaction et conditionnement ne soit possible.

#### 1.1.3 Concept d'entropie

##### Définition.

Soit  $X$  est une V.A. discrète. On définit l'**entropie** de  $X$  comme suit :

$$H(X) = - \sum_x P(X = x) * \log(P(X = x))$$

Le logarithme est dans notre cas de base 2. L'entropie se mesure en shannons ou en bits.

### Définition.

On définit le **désordre** (ou incertitude) étant liée à cette expérience aléatoire. Si l'on considère l'ensemble fini des issues possibles d'une expérience  $\{v_1, \dots, v_n\}$ , l'entropie de l'expérience vaudra :

$$H(\epsilon) = - \sum_x P(\{a_i\}) * \log(P(\{a_i\}))$$

### Propriété.

On constate que l'entropie est maximale lorsque X est équi-répartie. En effet, si l'on considère n éléments de X étant équi-répartie, on retrouve notre entropie de  $H(X) = \log(n)$ .

Ainsi, on comprend qu'une variable aléatoire apporte en moyenne un maximum d'entropie lorsqu'elle peut prendre chaque valeur avec une équiprobabilité. D'un point de vue moins théorique, on considère que plus l'entropie sera grande, plus il sera difficile de prévoir la valeur que l'on observe.

### Min-entropy.

La recommandation du NIST propose le calcul de *Min-entropy* pour mesurer au pire des cas l'entropie d'une observation.

Soit  $x_i$  un bruit de la source d'entropie. Soit  $p(x_i)$  la probabilité d'obtenir  $x_i$ . On définit l'entropie au pire des cas telle que :

$$\text{Min-entropy} = -\log_2(\max(p(x_i)))$$

La probabilité d'observer  $x_i$  sera donc au minimum  $\frac{1}{2^{\text{Min-entropy}}}$ .

#### 1.1.4 Source d'entropie

##### Approche théorique.

La source d'entropie est composée de 3 éléments principaux :

- le **bruit source**, qui est la voûte de la sécurité du système. Ce bruit doit être non déterministe, il renvoie de façon aléatoire des bits grâce à des processus non déterministes. Le bruit ne vient pas nécessairement directement d'éléments binaires. Si ce bruit est externe, il est alors converti en données binaires. La taille des données binaires générées est fixée, de telle sorte que la sortie du bruit source soit déterminé dans un espace fixe.
- le **composant de conditionnement**, qui permet d'augmenter ou diminuer le taux d'entropie reçu. L'algorithme de conditionnement doit être un algorithme cryptographique approuvé.
- une **batterie de tests**, partie également intégrante du système. Des tests sont réalisés pour déterminer l'état de santé du générateur aléatoire, permettant de s'assurer que la source d'entropie fonctionne comme attendu. On considère 3 catégories de tests :
  - Les tests au démarrage sur tous les composants de la source
  - Les tests lancés de façon continue sur le bruit généré par la source
  - Les tests sur demande (qui peuvent prendre du temps)

L'objectif principal de ces tests est d'être capable d'identifier rapidement des échecs de génération d'entropie, ceci avec une forte probabilité. Il est donc important de déterminer une bonne stratégie de détermination d'échec pour chacun de ces tests.

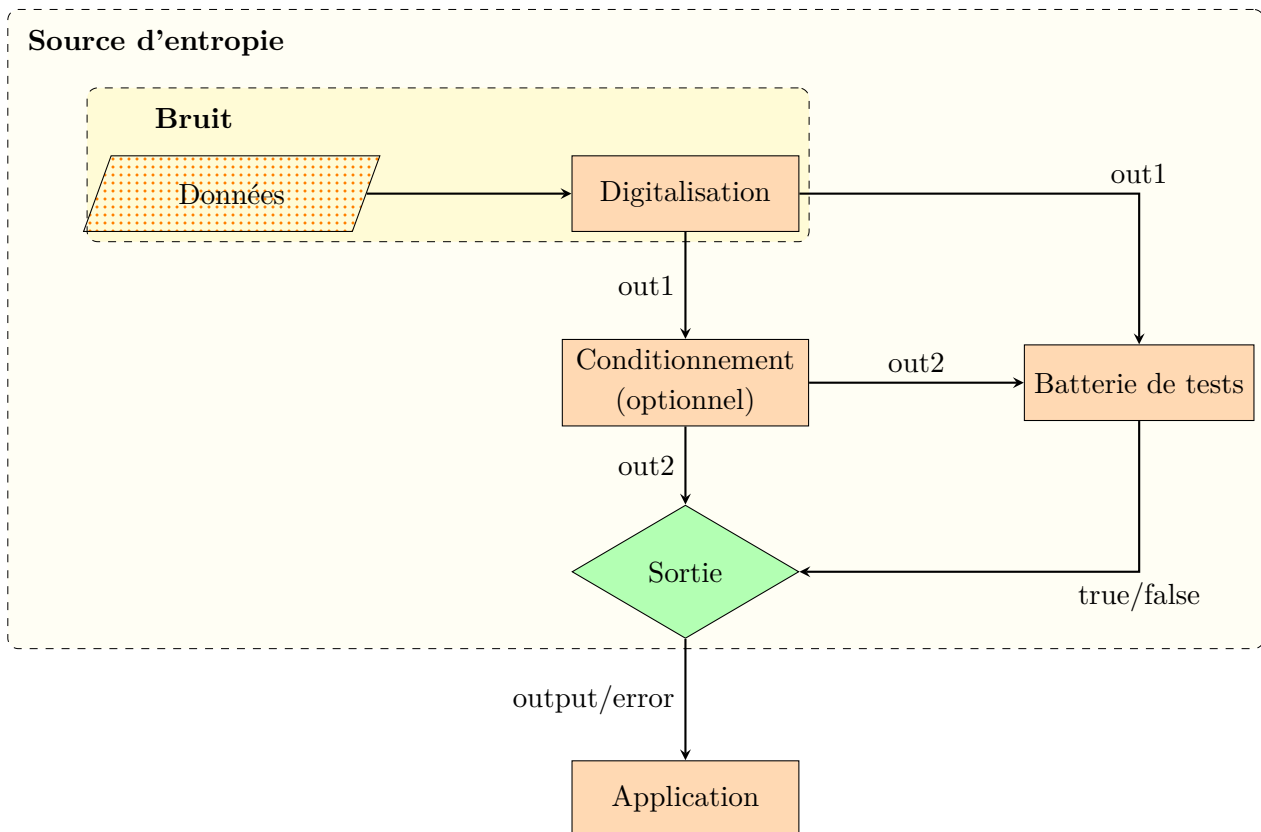


FIGURE 1.1 – Composants d’une source d’entropie. **out1** est une chaîne binaire de taille quelconque et **out2** est une chaîne binaire conditionnée de taille fixe.

### Modèle conceptuel.

Suivant ces sections précédentes, on peut déterminer 3 interfaces conceptuelle :

- **getEntropy** qui retourne
  - **entropy\_bitstring**, une chaîne de bits de l’entropie demandée
  - **assessed\_entropy**, entier indiquant le nombre de bits d’entropie de **entropy\_bitstring**
  - **status**, booléen renvoyant **true** si la requête est satisfaite, **false** sinon.
- **getNoise** qui prend en entrée :
  - **number\_of\_sample\_requested**, entier indiquant le nombre d’éléments demandés en retour à la source de bruitet en sortie :
  - **noise\_source\_data**, la séquences d’éléments demandée, ayant la taille **number\_of\_sample\_requested**.
  - **status**, booléen renvoyant **true** si la requête est satisfaite, **false** sinon.
- **HealthTest**, élément test de la batterie de tests, qui prend en entrée :
  - **type\_of\_test\_requested**, chaîne de bits déterminant le type de tests que l’on souhaite effectuer (peut différer suivant le type de source)et en sortie :
  - **pass-fail\_flag**, booléen qui renvoie **true** si la source d’entropie a réussi le test, **faux** sinon.

## 1.1.5 Standards

### 1.1.5.1 RFC 4086

Nos machines utilisent ce qu'on appelle des PRNG (Pseudo Random Number Generator), qui sont des algorithmes qui génèrent une séquence de nombres s'apparentant à de l'aléatoire. En réalité rien n'est aléatoire car tout est déterminé par des valeurs initiales (état du PRNG) et des contextes d'utilisation.

Un bon PRNG se doit d'avoir une très forte entropie (proche de un), afin d'éviter de délivrer de l'information.

Comme l'entropie est fournie majoritairement (si ce n'est totalement) par l'OS, il est donc nécessaire de détailler les PRNG les plus utilisés (surtout par les systèmes Linux et BSD - qui sont ceux qui génèrent le plus de certificats SSL).

Nous nous basons sur la RFC 4086 [1] : *Randomness requirements for security* pour le choix des PRNG selon les différents systèmes, voir la section "Normes" pour plus d'informations.

#### 1.1.5.1.1 Sous Linux

Il existe plusieurs niveaux de récupération d'aléatoire sous linux :

- Point primaire (*Primary pool*) :  
512o (128 mots de 4o) + ajout d'entropie
- Point secondaire (*Secondary pool*) :  
128o pour générer le fichier `/dev/random`.  
Un autre point secondaire existe : `/dev/urandom`

L'entropie est récupérée par exemple lorsqu'un événement apparaît (telle qu'une interruption du disque dur), la date et l'heure de l'événement sont récupérés et XORés dans le *pool*, puis sont "mélangés" avec une primitive polynomiale possédant un degré de 128. Le *pool* devient ensuite une boucle où de nouvelles données sont XORées ("mélangées" encore par la primitive polynomiale) tout le long du *pool*.

A chaque appel qui rajoute de l'entropie dans le *pool*, celui-ci calcule une estimation de la probabilité d'une réelle entropie des données. Le *pool* contient alors l'accumulation des estimations de l'entropie totale contenue dans le *pool*.

Les sources d'entropie sont les suivantes :

- Interruption Clavier - heure et code d'interruption
- Interruption des complétions du disque - heure de lecture ou écriture
- Mouvements de la souris - heure et position

Quand des octets aléatoires sont demandés, la *pool* est haché avec SHA-1 (20 octets). Si plus de 20 octets sont demandés, le haché est mélangé dans la *pool* pour la rehacher ensuite, etc. À chaque fois que l'on prend des octets dans la *pool*, l'entropie estimée est décrémentée. Pour assurer un niveau minimum d'entropie au démarrage, la *pool* est écrite dans un fichier à l'extinction de la machine.

`/dev/urandom` fonctionne selon le même principe sauf qu’il n’attend pas qu’il y ait assez d’entropie pour donner de l’aléatoire. Il convient donc pour une génération de clefs de session. Pour générer des clefs cryptographiques demandant une grande entropie, il est recommandé d’utiliser `/dev/random` pour assurer un niveau minimum d’entropie.

`/dev/random` utilise une *pool* d’entropie de 409 bits (512 octets) génère de l’aléa et s’arrête lorsqu’il n’y a plus assez d’entropie ; il attend que la *pool* se remplisse à nouveau.

En conclusion, `/dev/random` doit être utilisé pour une haute qualité d’entropie (i.e. haute sécurité de chiffrement, one-time pad), tandis que `/dev/urandom` doit être utilisé pour des applications non sensibles à des attaques cryptographiques (i.e. jeu en temps réel), car elle génère plus d’entropie que `/dev/random` sur un temps donné, mais s’arrêtera même s’il n’a pas récolté suffisamment d’entropie.

Par exemple, sur un serveur sans souris ni clavier, définir l’entropie avec `/dev/urandom` est très risqué. On recommande donc l’utilisation de `/dev/random` lors de l’audit OpenSSL sur les versions Linux.

Si vous souhaitez connaître l’entropie disponible, la commande est :

```
cat /proc/sys/kernel/random/entropy_avail
```

Désormais, la taille de la *pool* est hardcodée dans le noyau Linux (`/drivers/char/random.c:275`)

Linux offre également la possibilité de récupérer de l’aléa depuis un RNG matériel avec la fonction `get_random_bytes_arch` [3]

Un patch est également disponible afin de générer de l’aléa avec un débit de 100kB/s [43]. L’entropie est récupérée par le *CPU timing jitter*.

#### 1.1.5.1.2 Sous Windows

Du côté de Microsoft, il est recommandé aux utilisateurs d’utiliser `CryptGenRandom`, [67] qui est un appel système de génération d’un nombre pseudo-aléatoire. La génération est réalisée par une librairie cryptographique (*Cryptographic service provider library*). Celle-ci gère un pointeur vers un *buffer* en lui fournissant de l’entropie afin de générer un nombre pseudo aléatoire en retour avec en plus, le nombre d’octets d’aléatoires désirés.

```
BOOL WINAPI CryptGenRandom(  
    _In_      HCRYPTPROV hProv,  
    _In_      DWORD dwLen,  
    _Inout_   BYTE *pbBuffer  
);
```

Le service *provider* sauvegarde une variable d’état d’un sel pour chaque utilisateur. Lorsque `CryptGenRandom` est appelé, celui-ci est combiné avec un nombre aléatoire généré par la librairie en plus de différentes données systèmes mais aussi de l’utilisateur telles que :

- l'ID du processus
- l'ID du thread
- l'horloge système
- l'heure système
- l'état de la mémoire
- l'espace disque disponible du *cluster*
- le haché du block d'environnement mémoire de l'utilisateur

Le tout est envoyé à la fonction de hachage SHA-1 et le nombre en sortie est utilisé comme sel de clef RC4. Cette clef est enfin utilisée pour produire des données pseudo-aléatoires et mettre à jour la variable d'état du sel de l'utilisateur.

#### 1.1.5.1.3 Sous OpenBSD et FreeBSD

Il faut faire attention aux faux amis, car le `/dev/random` du FreeBSD n'est pas le même que celui de Linux. En fait, il est semblable au `/dev/urandom` de Linux, et est donc tout autant proscrit lors de notre audit.

Dans OpenBSD, on trouve des sources d'aléatoire supplémentaires par rapport à Linux. On trouve notamment `/dev/arandom` qui génère de l'aléatoire selon une version leakée de RC4 : ARC4 (Alleged RC4). Pour rappel, RC4 était un projet commercial de RSA Security et un hacker anonyme a publié un code qui faisait globalement la même chose, code légitime identifié par ARC4. De nos jours, il est fortement conseillé de ne plus utiliser RC4 car le flux de données aléatoires n'est en fait pas vraiment aléatoire et il existe des attaques qui prédisent la sortie de l'algorithme (Attaque de Fluhrer, Mantin et Shamir) .

Sur plusieurs de nos sources (plus anciennes), il est recommandé d'utiliser `/dev/arandom` pour sa rapidité (71 Mb/s) et sa bonne source d'entropie. Ce n'est plus vraiment le cas aujourd'hui.

#### 1.1.5.1.4 Autres systèmes

Nous avons également d'autres RNG comme `/dev/srandom`, `/dev/prandom` ou encore `/dev/wrandom` [40]. `/dev/srandom` est simple et lent, il n'est pas recommandé de l'utiliser.

Certains systèmes ne disposant pas de `/dev/*random`, peuvent utiliser l'EGD (Entropy Gathering Daemon) [66]. Il faut pour ce faire utiliser les fonctions OpenSSL `RAND_egd`, `RAND_egd_bytes` et `RAND_query_egd_bytes`. L'EGD est également utilisé par GPG, et peut être utilisé comme seed.

#### 1.1.5.2 FIPS 140

Le FIPS 140 (*Federal Information Processing Standards*) est un standard du gouvernement américain spécifique aux modules cryptographiques déployés par des éléments du gouvernement. Il inclue notamment des standards de tests qui permettent de décrire la qualité et/ou valider des générateurs d'entropie ou générateurs pseudos aléatoires. La version la plus récente est le FIPS 140-2, qui décrit plusieurs niveaux de tests.

Les test du FIPS 140-1 permettent de s'assurer que les sources d'entropies produisent suffisamment de "bonnes" données, pourvu que les sources d'entropies n'utilisent pas quelques opérations cryptographiques internes. Si une source d'entropie en utilise, alors elle réussira les tests avec quasi- certitude, même si la

source d'entropie est faible. De ce fait, ces jeux de tests ne sont pas bons pour tester des générateurs de nombres pseudo-aléatoires cryptographiques, car ceux-ci passeront facilement les tests même si les générateurs d'entropie sont faibles. Par exemple, si l'on hache une suite d'entiers (par pas de 1), les tests seront tous validés bien qu'ils n'auront pas été tirés aléatoirement, ceci en vertu de la fonction de hachage. Pourtant, la donnée est hautement prédictible.

Les tests du FIPS 140-2 ne sont également pas très efficaces, et permettent seulement de détecter si un matériel commence à produire un motif répété. Ils consistent à comparer différentes sorties consécutives d'un générateur. Ainsi, si le "générateur aléatoire" consiste à produire une simple incrémentation de nombres, les tests passeront sans problème.

Il est donc conseillé d'utiliser les tests du FIPS 140-1 et 140-2 pour vérifier uniquement si la source d'entropie produit de bonnes données, au démarrage et périodiquement lorsque c'est possible.

Le FIPS 140-1 définit 4 tests statistiques à lancer sur 20000 bits consécutifs, tests au démarrage ou à la demande :

1. Le **test Monobit**, où le nombre de bits à 1 sont comptés. Le test est considéré comme réussi si le nombre de bits à 1 est raisonnablement proche de 10000.
2. Le **test Poker**, pour lequel les données sont séparées en une suite consécutive de 4bits pour déterminer combien de fois les 16 configurations de 4 bits apparaissent. Les carrés du résultats sont sommés et permettent de définir si le test passe ou non.
3. Le **test runs**, que nous développerons dans les recommandations du NIST.
4. Le test **long runs**, qui effectue le test de runs sur 34 bits ou davantage.

Le FIPS 140-2 définit enfin des tests continus de sortie (*continuous output tests*). Les données de sortie sont découpées en blocs de 16 octets (ou davantage). Le premier bloc est stocké et comparé au second. S'ils sont identiques, alors le test est échoué. On passe à la paire suivante, le 2e bloc est comparé avec le 3e, etc.

## 1.2 Une backdoor dans nos systèmes cryptographiques ?

### 1.2.1 L'affaire Snowden et les documents top secrets de la NSA

Coup d'éclat en 2012, Edward Snowden, ancien-membre de la NSA et de la CIA, dévoile l'existence des backdoors ainsi qu'un lot d'informations conséquent sur la forte influence de la NSA sur le NIST et la RSA [38]. Il préleva ainsi plus de 1.700.000 documents à la NSA (d'après un officier de la NSA - 15 décembre 2013), dont 31.000 ultra-confidentiels [68]. Il délivra quelques documents à plusieurs journaux populaires tels que *"The Guardian"* et *"The New York Times"*.

Parmi les documents top secrets rendus publics, un en particulier nous intéresse [48]. Il concerne le contrôle de la NSA sur les systèmes de chiffrement actuels, nom de code BULLRUN, dont voici quelques points importants :

- *"Insert vulnerabilities into commercial encryption systems, IT systems, networks, endpoint communications devices used by targets"*



— *"Influence policies, standards and specification for commercial public key technologies"*

Bruce Schneier, un des plus grands cryptologues actuel, et fervent détracteur de la NSA, publie plusieurs articles concernant ce contrôle d'informations sur la question "La NSA a t-elle réellement placé une backdoor au sein d'un nouveau système de chiffrement ?" [54]

Il évoque également le projet BULLRUN, montrant comment la NSA peut placer ses backdoors, comment elle peut les choisir, et propose plusieurs stratégies de défense [55] pour les vaincre, notamment :

- Les vendeurs doivent rendre au minimum le code de chiffrement public (spécifications concernant les protocoles inclus). Le reste peut être conservé secret.
- La communauté des cryptologues doit pouvoir offrir une version compatible et indépendante du système de chiffrement, en open-source ou en vente auprès des entreprises privées (pour financer les universités par exemple).
- Il ne doit y avoir aucun secret. Tout doit être entièrement transparent auprès des clients.
- L'ensemble des PRNG doivent être rendus conformes avant publication et acceptation.
- Aucune fuite d'informations n'est permise, surtout au niveau des protocoles de chiffrement. Ceci afin d'éviter la prédiction de clés privées.

En Septembre 2013, Matthew Green publie un article [26] sur ce vaste problème entre la NSA et la sécurité cryptographique, qui a été salué par plusieurs cryptologues dont B. Schneier.

Il précise cependant que ceci ne reste que des spéculations, mais qu'elles sont nécessaires afin de doubler d'effort dans la sécurité de nos communications.

### 1.2.2 Le NIST et l'algo Dual EC DRBG

Un rapport de Snowden, indique que la NSA a déversé plus de 10.000.000\$ à la compagnie RSA [37] pour qu'elle utilise ce dernier, et discutable, algorithme comme générateur. On comprend donc mieux les suspicions autour d'un accord entre le NIST et la NSA pour la publication d'une recommandation de cet algorithme.

Les recommandations du NIST en matière de PRNG (qu'ils appellent plutôt DRNG - Determinist Random Number Generation), débute en 2006, la publication du dernier document sur les DRNG date de Janvier 2012 avec la SP800-90A [32].

Ce document présente quatres algorithmes de PRNG qui sont :

- Le Hash\_DRBG basé sur des fonctions de hachage
- Le HMAC\_DRBG basé également sur des fonctions de hachage
- Le CTR\_DRBG basé sur du chiffrement par bloc
- Le Dual Elliptic Curve Deterministic RBG (ou Dual EC DRBG) basé sur une théorie mathématique

Les trois premiers sont conventionnels, acceptés par toute la communauté des cryptologues, et s'avère efficace car ils génèrent "suffisamment" d'entropie. Le dernier est très différent des trois autres, dans le sens où il utilise une fonction de chiffrement à sens unique. Certains cryptologues ont démontrés que cet algorithme possède des failles (d'autres indiquent clairement que c'est une back-door du NIST...). En effet, on

peut accepter l'utilisation d'une fonction à sens unique, à condition que le secret utilisé ne soit pas conservé ailleurs (en d'autres termes qu'il soit détruit). Que faire si le NIST garde le secret des algorithmes permettant d'affaiblir considérablement le Dual EC DRBG, et rendre l'aléatoire prévisible pour qui s'en donne les moyens ?

En recoupant plusieurs sources, le doute augmente considérablement. En 2006, Berry Schoenmakers et Andrey Sidorenko établissent une cryptanalyse du DUAL EC DRBG [56]. En 2007, Dan Shumow et Niels Ferguson furent les premiers à dénoncer le NIST d'avoir placé une backdoor délibérément dans cet algorithme [58].

Avant Septembre 2013, tout cela n'était que suspicion, mais depuis le NIST a publié un bulletin de nouvelles recommandations pour les DRNG [47], et indique (surtout grâce à un forcing de la communauté cryptologue) que le Dual EC DRBG ne doit plus être utilisé pour les raisons suivantes :

- La provenance des points par défaut de la courbe elliptique utilisée n'est pas clairement détaillée
- La génération de ces courbes n'est pas digne de confiance

***"Recommending against the use of SP 800-90A Dual Elliptic Curve Deterministic Random Bit Generation : NIST strongly recommends that, pending the resolution of the security concerns and there - issuance of SP 800-90A, the Dual\_EC\_DRBG, as specified in the January 2012 version of SP 800-90A, no longer be used"***

### 1.2.3 ... Et OpenSSL ?

A présent, il faut rechercher l'utilisation de cet algorithme dans les classes d'OpenSSL, la nouvelle recommandation du NIST faisant foi. Le directeur technique d'OpenSSL Steve Marques a rapporté le 19 décembre 2013 qu' "un bug inusuel [avait] été détecté sur une situation inusuelle". Paul Ducklin apporte une bonne synthèse sur le site NakedSecurity [18], le titre est clair : "Le bug d'OpenSSL nous sauve de l'espionnage".

L'implantation du DUAL\_EC\_DRBG dans OpenSSL contient une faille, celle-ci causant un arrêt brutal ou un blocage de programme. Le bug a toujours été là, et il vient seulement d'être détecté. Heureusement, personne n'a pu utiliser cet algorithme, celui-ci est resté dans les phases de tests, les passant tout de même avec succès.

## 1.3 Audits

### 1.3.1 Audit 1.1 : Le cas Debian 4.0 et OpenSSL 0.9.8

#### 1.3.1.1 Normes visées

Les normes visées furent la RFC 4086 [1] et le FIPS 140-2 [64]. La première définit le bon fonctionnement d'un RNG, tandis que la deuxième apporte plutôt des algorithmes réputés sûrs pour la génération d'aléatoire.

### 1.3.1.2 Description de la faille

Le 13 Mai 2008, Luciano Bello découvre une faille critique du paquet d’OpenSSL sur les systèmes Debian [2]. Un mainteneur Debian souhaitant corriger quelques bugs aurait malencontreusement supprimé une grosse source d’entropie lors de la génération des clés. Il ne restait plus que le PID comme source d’entropie. Comme celui-ci ne pouvait dépasser 32.768 (qui le PID maximal atteignable), l’espace des clés a été restreint à 264.148 clés distinctes.

Le 14 Mai 2008, Steinar H. Gunderson démontre qu’en connaissant le secret  $k$  d’une signature, on peut retrouver la clé privée d’un certificat immédiatement [27]. Ce secret  $k$  étant généré avec un PRNG prévisible, on peut stocker deux signatures utilisant le même  $k$ , où le prédire directement.

Une signature DSA consiste en deux nombres  $r$  et  $s$  tels que :

$$r = (g^k[p])[q]$$
$$s = (k^{-1} * (H(m) + x * r))[q]$$

La clé publique =  $(p, q, g)$ , le message en clair =  $m$ , et  $H(m)$  est le fingerprint de  $m$  qui est également connu.

— Attaque n° 1 : En connaissant  $k$

$$s * k[q] = (H(m) + x * r)[q]$$
$$\iff (s * k - H(m))[q] = x * r[q]$$
$$\iff ((s * k - H(m)) * r^{-1})[q] = x$$
$$\iff (s * k - H(m)) * r^{-1} = x$$

— Attaque n° 2 : Deux messages possèdent le même  $k$

$$s_1 = (k^{-1}(H(m_1) + x * r))[q]$$
$$s_2 = (k^{-1}(H(m_2) + x * r))[q]$$
$$\iff s_1 - s_2 = (k^{-1}(H(m_1) - H(m_2)))[q]$$
$$\iff (s_1 - s_2) * (H(m_1) - H(m_2))^{-1} = k^{-1}[q]$$
$$\iff \text{On connaît } k \implies \text{Attaque 1}$$

Pour savoir si une clé SSL, SSH, DNSSEC ou OpenVPN est affectée, plusieurs détecteur de données [13] [14] de clés faibles sont fournies par l’équipe Security de Debian, en même temps que l’avertissement de sécurité [12].

### 1.3.1.3 Tests

Nous avons décidé de tester le nombre de certificats vulnérables causés par le bug OpenSSL de Debian (qui reste le plus populaire), et connaissant la blacklist des clés privés. Les résultats nous montrent que sur 500.000 certificats récupérés, au moins<sup>1</sup> 769 sont vulnérables.

Vous pouvez trouver nos scripts parcourant un fichier contenant un certificat sur chaque ligne, ou un dossier contenant des certificats sous forme de fichiers PEM et nos résultats, dans le dossier consacré à l'audit des clés cryptographiques.

Le format de nos résultats est :

**COMPROMISED :** <haché\_du\_certificat> <nom\_fichier\_corrompu (sous forme d'adresse IP)>

Évidemment, nous ne mettons pas ces résultats sur le net puisqu'ils indiquent très clairement les adresses IP contenant le certificat friable, et sa clé privée (que l'on peut facilement retrouver parmi la courte blacklist). Pour information, parmi les entreprises vulnérables nous trouvons les géants IBM et CISCO.

### 1.3.1.4 Implémentation

#### Configuration utilisée.

Première version OpenSSL vulnérable : 0.9.8c-1.

Première distribution stable où la vulnérabilité a été corrigé OpenSSL 0.9.8c-4etch3 pour Debian/Etch.

Première distribution de test où la vulnérabilité a été corrigé OpenSSL 0.9.8g-9 pour Debian/Lenny.

Première distribution instable où la vulnérabilité a été corrigé OpenSSL 0.9.8g-9 pour Debian/Sid.

#### Fonction.

La fonction liée à cette norme est accessible sous le paquetage `openssl/crypto/rand/md_rand.c`.

```
1 | #ifndef PURIFY
2 | /*
3 |  * Don't add uninitialised data.
4 |  * MD_Update(&m, buf, j); /* purify complains */
5 |  */
6 | #endif
```

Listing 1.1 – md\_rand.c

Analysons plus en détail cette faille. La conséquence est le blocage de la graine (seed) que l'on passe ensuite au PRNG. Cette ligne a été commentée par erreur en voulant corriger un avertissement soulevé par le compilateur Valgrind sur une valeur non initialisée.

1. Le logiciel ne prend pas en compte les clés  $\leq$  à 512 bits et celles  $\geq$  à 4096 bits, et ne prend en compte que les certificats RSA

### 1.3.1.5 Conclusion

Tout d'abord, il est fortement recommandé de mettre à jour sa version OpenSSL vers une version stable où le bug a été corrigé. Puis de re-générer toutes les clés de chiffrements, et de ne plus utiliser les certificats corrompus. Il reste malheureusement beaucoup de certificats (+ de 700) touchés par cette faille, n'ayant toujours pas révoqué leurs certificats (la plupart étant valide jusqu'en 2020-2030).

## 1.3.2 Audit 1.2 : Le cas LinuxMintDebianEdition sous Android

### 1.3.2.1 Normes visées

Les normes sont les mêmes que l'Audit 1.1

### 1.3.2.2 Description de la faille

Récemment, en août 2013 précisément, un patch de sécurité pour les systèmes Android utilisant la version LinuxMintDebianEdition/OpenSSL, dévoile une réparation du générateur de nombres pseudo-aléatoires (PRNG) qui ne donnait pas suffisamment d'entropie [33] [39].

Le patch indique que le PRNG de cette version d'OpenSSL utilise dorénavant une combinaison de données plus ou moins prévisibles associées à l'entropie générées par `/dev/urandom`. Mais sachant que le PRNG d'OpenSSL utilise lui-même `/dev/urandom`, on a du mal à comprendre pourquoi en rajouter davantage.

Eric Wong et Martin Boßlet apportent la solution sur leur site [8]. Ils montrent que l'erreur provient d'un bug "à la Debian", une simple ligne diffère de la version officielle d'OpenSSL (utilisant `SecureRandom`) à celle de OpenSSL : `:Random` ce situant dans la fonction `ssleay_rand_bytes`. Toutefois, la conséquence n'est pas aussi lourde que celle de Debian, tout d'abord parce que le système Android est rarement utilisé pour du chiffrement de données sensible, et une attaque par prédiction bien que plus rapide qu'une attaque par brute-force reste infaisable. Mais l'erreur est quand même là.

### 1.3.2.3 Implémentation

#### Configuration utilisée.

Système Android utilisant la version 1.0.1e d'OpenSSL au niveau de la classe `SecureRandom`, avec la librairie Java Bridge (fichier JAR) accédant au PRNG d'OpenSSL, la librairie `core/java/com/android/internal/os/ZygoteInit.java` pour la parallélisation des processus (fork).

OS utilisés Linux Mint Debian Edition (LMDE) et Fedora. Le bug concerne l'OS LMDE avec la version OpenSSL 1.0.1e.

#### Fonction.

La fonction d'OpenSSL mise en cause se situe également au niveau de `openssl/crypto/rand/md_rand.c`, dans la fonction `ssleay_rand_bytes(unsigned char *buf, int num, int pseudo)`.

```
2 | #ifndef PURIFY /* purify complains */  
3 | #if 0  
4 | /* The following line uses the supplied buffer as a small  
   * source of entropy: since this buffer is often uninitialised
```

```
6      * it may cause programs such as purify or valgrind to
7      * complain. So for those builds it is not used: the removal
8      * of such a small source of entropy has negligible impact on
9      * security.
10     */
11     MD_Update(&m,buf,j);
12 #endif
13 #endif
```

Listing 1.2 – ssleay\_rand\_bytes.c

On retrouve le même bug que Debian. Le fameux patch supprimant l’entropie d’OpenSSL... 7 ans auparavant, et corrigé en 2008. Alors que l’équipe de développement d’OpenSSL déclare que l’impact est faible voire inexistant sur la sécurité, les systèmes Android, dérogent à la règle. La raison est que la mémoire n’est pas initialisée sur la version LMDE/OpenSSL 1.0.1e, comparé à Fedora/OpenSSL 1.0.1e. La seule source d’entropie n’est que la valeur du PID du processus courant, très limité.

#### 1.3.2.4 Conclusion

Il est alors recommandé à court terme d’ajouter plus d’entropie à notre PRNG sous Android, soit manuellement comme le script Ruby d’Eric Wong [8], ou avec les outils cités plus haut dans ce document. Sinon, le patch d’OpenSSL [33] répare également l’erreur en rajoutant plus d’aléa, bien qu’une recommandation officielle serait la bienvenue, ainsi qu’une meilleure documentation.

### 1.3.3 Audit 1.3 : NetBSD 6.0 et OpenSSH

#### 1.3.3.1 Norme visée

Le noyau du système NetBSD s’appuie sur le RNG CTR du NIST, que l’on peut trouver dans le NIST-SP-800-90A [32] pour définir son pool d’entropie.

#### 1.3.3.2 Description de la faille

Autre faille du même genre sur les systèmes NetBSD 6.0 concernant OpenSSH/OpenSSL et datant de Mars 2013 [9] [49]. L’erreur provient d’une insuffisance d’entropie dans le PRNG, qui ne tient que sur 32 ou 64 bits (la taille d’un sizeof(int)). Un attaquant peut brute-forcer une clé générée par ce PRNG. Il est probable que les dégâts soient bien moins étendus que lors de l’affaire OpenSSL Debian car les systèmes NetBSD 6.0 sont moins fréquents.

#### 1.3.3.3 Implémentation

##### Configuration utilisée.

La vulnérabilité concerne les versions NetBSD 6.0 et NetBSD 6.0.1. Elle est réparée sur la version NetBSD 6.0.2 et NetBSD 1.0 [45]. Une parenthèse mal placée dans le code du fichier /src/sys/kern/subr\_cprng.c du système rend prévisible l’entropie fourni pour la génération des clés.

## Fonctions.

La fonction vulnérable est accessible via le chemin `/src/sys/kern/subr_cprng.c`.

```
1 |         if (c->flags & CPRNG_INIT_ANY) {  
2 |             #ifdef DEBUG  
3 |                 printf("cprng %s: WARNING insufficient "  
4 |                     "entropy at creation.\n", name);  
5 |             #endif  
6 |             rnd_extract_data(key + r, sizeof(key - r), RND_EXTRACT_ANY);  
7 |         } else {  
8 |             hard++;  
9 |         }  
10 |
```

Listing 1.3 – subr\_cprng.c(1)

Pour la partie concernant la ligne 183 : `rnd_extract_data (key + r, sizeof(key - r), RND_EXTRACT_ANY);`. Le deuxième paramètre devrait être `sizeof(key) - r`. Dans la version 1.15, cette appel a été corrigé, et on utilise une nouvelle fonction nommée `cprng_entropy_try` [45] à la place de `rnd_extract_data`.

```
1 | static size_t  
2 | cprng_entropy_try(uint8_t *key, size_t keylen, int hard)  
3 | {  
4 |     int r;  
5 |     r = rnd_extract_data(key, keylen, RND_EXTRACT_GOOD);  
6 |     if (r != keylen && !hard) {  
7 |         rnd_extract_data(key + r, keylen - r, RND_EXTRACT_ANY);  
8 |     }  
9 |     return r;  
10 | }  
11 |
```

Listing 1.4 – subr\_cprng.c(2)

Cette fonction permet de réduire le nombre d'appels de la précédente fonction `rnd_extract_data`. Elle prend en argument le niveau d'entropie à atteindre "hard" ou "soft" afin de donner respectivement de "bons" bits ou "suffisamment" de bits.

### 1.3.3.4 Conclusion

Il est recommandé de passer à une version NetBSD supérieurz à 5.1, et de de recréer toutes données de chiffrement comme les clés SSH ayant été générées avec ce noyau. Il faut également faire attention au patch de sécurité de Janvier 2013 qui en tentant de régler le problème a généré une autre erreur produisant le même effet. L'erreur ne provient pas directement du code d'OpenSSL. Mais ici, OpenSSL se contente de récupérer l'entropie fournie sans aucune vérification (fonction `RAND_bytes()`).

Il est également recommandé d'utiliser `/dev/random` plutôt que `/dev/urandom` pour avoir une bonne entropie. On souligne quand même le fait que OpenSSL ne contrôle pas son entropie, si l'entropie du système est quasi-nulle les clés sont tout de même générées. Un avertissement auprès de l'utilisateur serait un minimum.

## 1.4 Recommandations sur la conception

Le NIST propose des recommandations à plusieurs niveaux concernant la conception de la source d'entropie. Nous n'en reporterons ici que les recommandations génériques. Les éléments ci-dessous sont basés sur le rapport du NIST SP800-90B.

### 1.4.1 Modélisation et validation

La source d'entropie doit suivre les exigences suivantes :

1. Le développeur doit documenter complètement la modélisation de la source d'entropie, incluant toutes les interactions entre les composants. De ce fait, la documentation doit pouvoir justifier en quoi la source d'entropie est de confiance.
2. Il doit définir de façon précise les limites conceptuelles de sécurité de la source d'entropie, qui doivent elles mêmes être équivalentes à un module cryptographique délimitant un périmètre de sécurité (cf. *Cryptographic module boundary* du FIPS 140).
3. Le développeur doit définir le champ des conditions optimales de fonctionnement du générateur d'entropie.
4. La source source d'entropie doit être possiblement validée suivant les recommandations du FIPS 140, ainsi que les tests s'y référant.
5. Le comportement du bruit de la source doit être documenté, validant en quoi le taux d'entropie ne fluctue pas lors d'une utilisation normale.
6. Dès lors qu'un test de validation n'est pas réussi, la source d'entropie doit immédiatement cesser d'envoyer des données de sortie, et doit notifier à l'application l'erreur rencontrée.

Enfin, une recommandation optionnelle :

7. La source d'entropie doit contenir différent types de bruits pour améliorer le comportement global de la source, et prévenir des tentatives de contrôle externe. Chaque bruit doit vérifier les spécifications du 3.1.

### 1.4.2 Source d'entropie absolue

Certains générateurs de bits aléatoire demandent une source d'entropie absolue, à savoir qu'elle approxime une sortie qui est uniformément distribuée et indépendante des autres sorties.

1. La chaîne de bit générée doit fournir au moins  $(1 - \epsilon)n$  bits d'entropie, où :
  - $n$  est la taille de chaque sortie
  - $\epsilon$  tel que :  $0 \leq \epsilon \leq 2^{-64}$

### 1.4.3 Bruit de la source

Le bruit fourni par la source doit suivre les recommandations suivantes :

1. Le bruit doit avoir un comportement probabiliste et ne doit en aucun cas être définissable par quelque algorithme ou règle.
2. Le développeur doit pouvoir documenter l'opération sur le fonctionnement du bruit de la source, en montrant en quoi le choix de ce bruit fournit une sortie d'entropie acceptable. Ceci comprend le référencement d'articles de recherche et autre littérature pertinente.



3. Le bruit de la source doit pouvoir être testable, de telle sorte que l'on puisse s'assurer qu'il effectue l'opération attendue. Il doit donc être possible de récupérer des données sur la source de bruit sur lesquels on puisse lancer la batterie de tests. La récupération des données sur la source de bruit ne doit en aucun cas altérer le comportement du bruit, ou de la sortie.
4. Toute défaillance du bruit doit être rapidement détectable. Les méthodes de détection doivent être documentées.
5. La documentation de la source du bruit doit également décrire sous quelles conditions le bruit est connu pour mal fonctionner. Ceci consiste ainsi à répertorier les environnements dans lesquels la source peut fonctionner correctement.
6. La source de bruit doit être protégée au maximum contre toute attaque/tentative de conditionnement ou simple connaissance de fonctionnement de la part d'un adversaire.

#### 1.4.4 Composant de conditionnement

Le composant de conditionnement doit suivre les recommandations suivantes :

1. Le développeur doit documenter si la source d'entropie nécessite ou non un conditionnement.
2. La méthode de conditionnement doit être décrite et argumentée. Elle doit en effet expliciter en quoi elle permet de diminuer l'alignement d'une source de bruit, ou en quoi la sortie créée correspond à l'entropie attendue
3. La méthode de conditionnement doit pouvoir être validée par des tests
4. Le développeur doit pouvoir estimer l'alignement en sortie de conditionnement.
5. Le développeur doit prévoir une documentation expliquant le comportement de la méthode de conditionnement en cas de variation de comportement de la part de la source de bruit.

#### 1.4.5 Batterie de tests

Globalement, les tests doivent suivre les recommandations suivantes :

1. Les tests doivent être effectués au démarrage puis de façon continue pour s'assurer que les composants du générateur d'entropie fonctionnent correctement.
2. Tous les tests doivent être documentés, en particulier sur les conditions sous lesquels ils doivent être exécutés, les résultats attendus pour chacun de ceux-ci, et une explication rationnelle indiquant en quoi chaque test est approprié pour la détection de dysfonctionnement de la part de la source d'entropie.

##### 1.4.5.1 Tests sur le bruit

Les tests sur le bruit sont pour la plupart du temps dépendants de la technologie utilisée. Dans la majorité des cas, il faut tester via des procédures traditionnelles de tests (type test monobit, test du  $\chi_2$ , et tests d'exécution) si celui-ci est bien non biaisé et produit des données indépendantes.

1. Au minimum, des tests continus doivent être implémentés, et ceci de façon indépendante. Le développeur doit de plus documenter toutes les sources de défaillance.
2. Les tests sont implémentés sur les données binaires récupérées via le bruit source.
3. La source de bruit doit être testé dans son ensemble (suivant la variation du bruit).

4. Le bruit généré durant la démarrage ayant passé avec succès les tests de démarrage peut être utilisé pour produire de l'entropie.
5. Lorsqu'un test est échoué, le générateur doit en être notifié.

Optionnel :

6. Une étude peut être requise sur les bords du bruit bruit généré, dans les cas où le comportement du générateur est altéré.

#### 1.4.5.2 Tests sur le conditionnement

Le rôle du conditionnement est de réduire l'alignement présent chez certaines sources d'entropie afin de s'assurer que l'entropie est construite à un taux acceptable. Les recommandations sont les suivantes :

1. Les composants de conditionnements doivent être testés dès le démarrage, afin d'être certain que le générateur fonctionne comme prévu
2. Le développeur doit documenter les tests implémentés et inclure les conditions d'échecs pour chacun d'entre eux.

### 1.5 Tests effectifs sur l'entropie fournie par les sources d'entropie

#### 1.5.1 Déterminer si les données sont IID

##### Définition.

On dit que des variables sont **IID** (indépendantes et identiquement distribuées) si elle suivent toute la même loi de probabilité et si elles sont mutuellement indépendantes.

Les tests suivants ont été conçus pour montrer si les données en sortie du bruit et/ou en sortie du conditionnement sont bien IID, ceci en effectuant des tests sur la distribution des données. Le but est de vérifier l'hypothèse  $H_0$ . Pour la vérifier, nous allons considérer ici deux types de tests :

- Des tests de répartition aléatoire sur l'ensemble
- Des tests statistiques

Si un des tests est passé, alors on passe au suivant. La défaillance d'un seul des tests impliquera le caractère non IID des données.

##### 1.5.1.1 Tests sur l'indépendance et la stabilité

Nous travaillons sur le test statistique bilatéral suivant :

- l'hypothèse  $H_0$  : "Les données sont IID".
- l'hypothèse  $H_1$  : "Les données ne sont pas IID".

Suivant un jeu de données ( $|donnees| = n$ ), on divise celui-ci en 10 sous ensemble de tailles égales ( $\frac{N}{10}$ ). On effectue enfin nos tests sur chacune de ces données. La stratégie de test est effectuée comme suit :

1. On calcule tout d'abord différents scores statistiques parmi les suivants :
  - Score de compression, un score par sous ensemble de données
  - Score *Over/Under Runs*, deux scores par sous ensemble

- Score excursion, un score par sous ensemble
- Score *Runs* directionnel, trois scores par sous ensemble
- Score de covariance, un score par sous ensemble
- Score de collision, trois scores par sous ensemble

2. Pour chaque calcul de score :

- (a) On stocke pour chaque type de score les résultats dans un vecteur de  $J$  scores
- (b) On répète les étapes suivantes 1000 fois :
  - i. On permute les sous ensembles précédents en utilisant un générateur pseudo aléatoire, suivant l'algorithme de permutation *Fisher-Yates shuffle*.
  - ii. On calcule les nouveaux scores suivant cette nouvelle organisation de sous-ensembles
  - iii. On récupère ce vecteur de  $J$  scores
- (c) On classe les scores de 2a) en le comparant avec tous les scores liés permutés. Par exemple, si le score des données originelles est plus grand que tous ceux des permutations, alors ce premier a le score de 1000, et les répertoires permutés ont un score inférieur à 1000. Il est possible que les données permutées aient le même score. Lorsque le score originel est le même que certains de scores des données permutées, on considère le score en récupérant celui le plus proche de la médiane.

Plus généralement, étant donné :

- Un score  $S$
- Une liste de scores des données permutées  $L$

On détermine le **rang** de  $S$  tel que :

$$Rang(S) = \begin{cases} \max(j) & \text{tel que } L[j] \leq S, & \text{si } L[500] > S & (1) \\ 500 & & \text{si } L[500] = S & (2) \\ \min(j) & \text{tel que } L[j] \geq S, & \text{si } L[500] < S & (3) \end{cases}$$

i. Exemple cas (1) :

- Soit  $S = 20$  et  $L[500] = 22$ . On est dans le cas (1). On va chercher le  $\max(j)$  tel que  $L[j] \leq S$ .
- On a  $L[299] = 19$ ,  $L[300] = 20$ ,  $L[301] = 20$ ,  $L[302] = 22$ .
- On retourne au score 301, ainsi  $Rang(S) = 301$ .

ii. Exemple cas (3) :

- A. Soit  $S = 20$  et  $L[500] = 18$ . On est dans le cas (3). On va chercher le  $\max(j)$  tel que  $L[j] \geq S$ .
- B. On a  $L[599] = 19$ ,  $L[600] = 20$ ,  $L[601] = 20$ .
- C. On retourne au score 600, ainsi  $Rang(S) = 600$ .

3. Le rang alors obtenu est considéré comme une *p-value* pour un test bilatéral. Pour rappel, une *p-value* est la probabilité d'obtenir la même valeur de test si l'hypothèse nulle est vraie. Ainsi, on compte pour chacun des 6 tests un ensemble de  $10 * J$  *p-values*.
4. On gère enfin les *p-values* de la façon suivante :
  - (a) Tous les rangs compris entre 50 et 950 sont relevés. Ces événements ont une probabilité d'arriver de 10% au total.
  - (b) Si le nombre de rangs relevés est supérieur ou égal à 8, on considère le test comme échoué.
    - i. Si le test est effectué sur la source du bruit, alors celle-ci n'est pas considérée comme IID
    - ii. Si le test est effectué sur le conditionnement, alors la source d'entropie n'est pas validée.

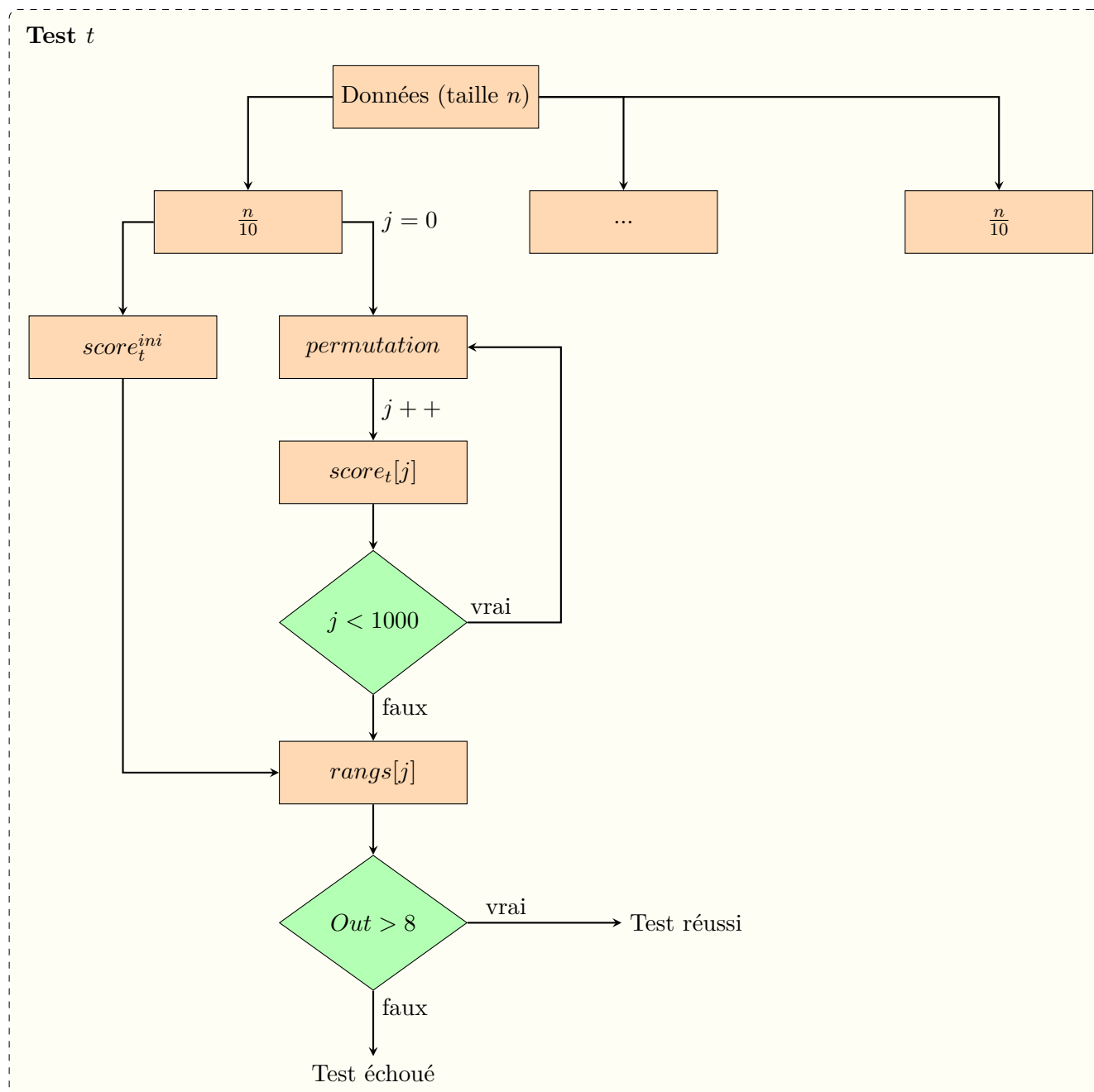


FIGURE 1.2 – Structure de validation de données  $d$  par un test  $t$ .  $Out$  vaut " $|Rangs \leq 50 \ \&\& \ Rangs \geq 950|$ "

#### 1.5.1.1.5 Score de compression

Les algorithmes de compression sont habituellement bien adaptés pour supprimer les données redondantes des chaînes de caractère. Suivant un algorithme de compression choisi, le score de compression est la longueur de la donnée compressée obtenue.

#### Calcul du score.

Le score est calculé de la façon suivante :

1. Les sous ensembles de données sont encodés en chaîne de caractères séparés par une virgule

2. La chaîne de caractères est compressée suivant l'algorithme de compression de bzip2<sup>2</sup>
3. Le score retourné correspond à la longueur de la chaîne de caractères compressée

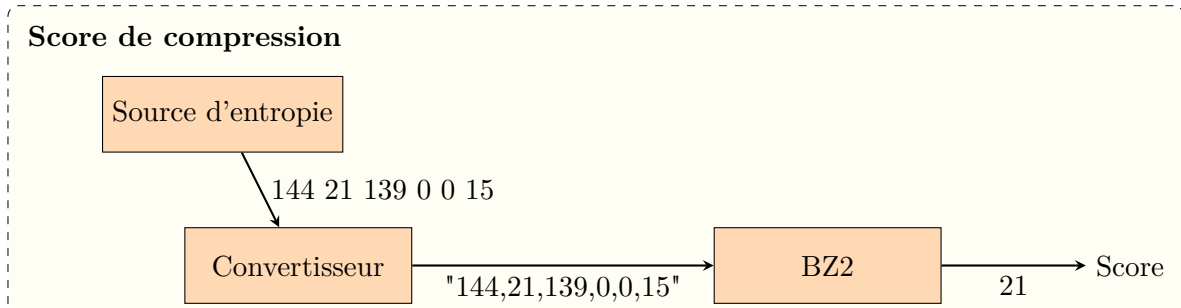


FIGURE 1.3 – Calcul du score de compression

#### 1.5.1.1.6 Scores *Over/Under Runs* (2)

##### Définition.

On définit le **run test** comme la série des valeurs montantes ou la série des valeurs décroissantes. Le terme de **run** peut être expliqué comme la successions d'éléments de la même classe. Le nombre d'augmentations ou de réductions définit la longueur du test. Dans un jeu de données aléatoire, la probabilité que la  $(i+1)$ ème valeur est plus grande ou plus petite que la  $i$ ème valeur doit suivre la loi binomiale.

Le *run test* est défini tel que :

- $H_0$  : la séquence a été produite de manière aléatoire
- $H_1$  : la séquence n'a pas été produite de manière aléatoire
- Test statistique :

$$Z = \frac{R - \bar{R}}{s_R}$$

où :

- $R$  : le nombre de *runs* observés
- $\bar{R}$ , la moyenne (le nombre de runs attendus) telle que :

$$\bar{R} = \frac{2N_+N_-}{N} + 1$$

- $s_R$  la variance (déviation standard) calculée telle que :

$$s_R^2 = \frac{2N_+N_-(2N_+N_- - N)}{N^2(N-1)} = \frac{(\bar{R}-1)(\bar{R}-2)}{N-1}$$

- Niveau significatif :  $\alpha$
- Zone critique : Le *run test* rejette l'hypothèse nulle  $H_0$  si  $|Z| > Z_{1-\alpha/2}$

2. cf. [www.bzip.org](http://www.bzip.org)

### Exemple de Run test.

Soit la suite binaire  $X = (x_1, x_2, \dots, x_n)$  sortie d'un générateur aléatoire. Pour tous les  $i$  allant de 1 à  $n-1$ . On stocke dans un vecteur de taille  $n-1$  le signe de  $x_{i+1} - x_i$ . Le nombre de run consiste au nombre de changements de signe.

Si  $X = 111001111000110$ , alors son vecteur associé sera  $(+ + - + + + + - + + + -)$ , soit 6 *runs*. Dans le cas des suites binaires, il s'agit simplement de compter le nombre de changement d'éléments (ou classes), l'ensemble de données étant  $\{0, 1\}$ . Si l'élément  $i$  est équivalent au précédent, alors on passe au suivant, sinon on incrémente de un le nombre de *runs*.

Ici on a donc :

- $R = 6$
- $\bar{R} = \frac{2*3*3}{15} + 1 = 2.2$
- $s_R^2 = \frac{1.2*0.2}{14} = 0,017142857$
- D'où  $Z = \frac{6-2.2}{\sqrt{0,130930734}} = 29.0229794$
- On choisit un niveau  $\alpha = 0.05$
- On cherche  $Z_{1-\alpha/2} \cdot \frac{1-\alpha}{2} = 0.475$  soit suivant la courbe normale une valeur de  $Z_{1-\alpha/2} = 1.96$ . Ceci correspond à la valeur critique. La zone de rejet de  $H_0$  est telle que  $|Z| > 1.96$
- Étant donné que  $|Z| > 1.96$ , on en conclut que les données ne sont pas réparties aléatoirement au risque de 5%.

### Calcul des scores *Over/Under Runs*.

Pour chaque sous-ensemble, on calcule la médiane des données. On identifie ensuite les données en 3 sous-ensembles :

- Soit elles sont égales à la médiane
- Soit elles sont inférieures à la médiane
- Soit elles sont supérieures à la médiane

Les sous ensembles inférieurs et supérieurs à la médiane sont susceptible d'avoir un *run score* relativement faible, si les données sont suffisamment bien IID.

Les deux scores de *over/under runs* sont calculés comme suit :

1. On récupère la médiane de notre sous ensemble de données. Pour des données binaires, la médiane sera de 0.5
2. Pour chaque sous ensemble original et chaque sous ensemble permuté, un sous ensemble temporaire est construit comme suit. Pour chaque élément :
  - (a) Si l'élément est plus grand que la médiane, on ajoute +1 au vecteur temporaire
  - (b) Si l'élément est plus petit que la médiane, on ajoute -1 au vecteur temporaire
  - (c) Si l'élément est égal à la médiane, on passe à l'élément suivant
3. La plus grande taille du *run* sur les +1 ou les -1 est considéré comme le premier score
4. La taille du *run* sur les +1 et les -1 est considéré comme le second score.

### Exemple.

Considérant l'ensemble de taille 7 ayant les données suivantes :  $\{5, 15, 12, 1, 13, 9, 4\}$ .

1. On récupère la médiane : 9

2. Création du vecteur temporaire :  $5 < 9 \Rightarrow -1....$  Vecteur final :  $\{-1, +1, +1, -1, +1, -1\}$ . On note que pour ce vecteur la valeur 9 a été omise.
3. Le *run* le plus long pour le +1 et le -1 est de taille 2, (score 1)
4. Le *run* global est de taille 5, (score 2)

#### 1.5.1.1.7 Score excursion

Le score d'excursion mesure la déviation en chaque point d'une somme d'éléments suivant leur moyenne.

##### Définition.

Étant donné les éléments  $(s_0, s_1, \dots, s_i)$ , et leur moyenne  $\mu_i$ , l'**excursion**  $Esc_i$  est définie telle que :

$$Esc_i = s_0 + s_1 + \dots + s_i - i * \mu$$

Le score retourné est l'excursion maximale en valeur absolue du sous ensemble de données.

##### Calcul du score.

Le score est ainsi calculé comme suit.  $\mu$  est défini comme la moyenne des valeurs d'un ensemble donné.

1. Pour  $j = 1$  à  $\lfloor \frac{N}{10} \rfloor$  (taille des données du sous ensemble), on calcule  $d_j = |Esc_j| = \left| \sum_{i=0}^j s_i \right|$
2. Score =  $\text{Max}_{j=0, j < \lfloor \frac{N}{10} \rfloor} (d_j)$

##### Exemple.

Étant donné le sous ensemble suivant :  $\{2, 15, 4, 10, 9\}$ .

1. On calcule  $\mu$ , ici  $\mu = 8$
2. Calcul des  $d_j$  :  
 $d_1 = |2 - 8| = 6$ ,  $d_2 = |2 + 15 - 2 * 8|$ ,  $d_3 = 3$ ,  $d_4 = 1$ ,  $d_5 = 0$
3. Le score est donc de 6

#### 1.5.1.1.8 Scores Runs directionnel (3)

Le principe du run test reste le même que celui évoqué précédemment à l'exception suivante près : lorsqu'il y a égalité entre deux éléments consécutifs, on le référence comme étant 0 dans le vecteur temporaire plutôt que de passer directement à l'élément suivant.

##### Calcul des scores pour des données quelconques.

Le score est calculé de la façon suivante :

1. Le nombre total de runs (sans considérer le 0 comme un changement de "signe") (score 1)
2. La longueur du plus long run (les 0 sont également ignorés) (score 2)
3. Le maximum entre le nombre de données +1 et le nombre de données -1 (score 3)

##### Exemple :

Étant donné l'ensemble suivant :  $\{2, 2, 2, 5, 7, 7, 9, 3, 1, 4, 4\}$ .



1. On calcule son vecteur temporaire lié  $\{0, 0, +1, +1, 0, +1, -1, -1, +1, 0\}$
2. Nous comptons 3 séries de run :  $(0, 0, +1, +1, 0, +1)$ ,  $(-1, -1)$  et  $(+1, 0)$  (score 1)
3. Le run le plus long est de 4 :  $(+1, +1, 0, +1)$  (score 2)
4. On compte 4 +1 et 4 -1, le maximum des deux est donc de 4 (score 3).

### Données binaires.

Dans le cadre des données binaires en sortie de source d'entropie, il convient de faire un pré-traitement sur les données :

1. On convertit les bits en bytes.
2. On calcule le poids de hamming pour ces éléments :  
 Pour  $i = 0$  à  $\lfloor \frac{N}{8} \rfloor - 1$ , on stocke dans  $W_i$  son poids de Hamming, tel que  $W_i = \text{hamming\_weight}(s_i, \dots, s_{i+7})$
3. On réitère l'opération des données quelconques à partir de ce vecteur  $W_i$ .

### Poids de Hamming.

Le **poids de hamming** d'un sous ensemble  $(s_i, \dots, s_{i+n})$ , donné par  $\text{hamming\_weight}(s_i, \dots, s_{i+n})$  est défini comme le nombre de 1 de la suite  $(s_i, \dots, s_{i+n})$ .

#### 1.5.1.1.9 Score de covariance

Le score de covariance permet de détecter la relation entre les valeurs numériques successives. En effet, toute relation linéaire entre des paires successives va affecter directement ce score. On pourra alors constater une différence entre la covariance calculée sur le sous ensemble de données originales et la covariances calculée sur le sous ensemble de données permutées. La covariance est calculée entre chaque paire consécutive du sous ensemble S tel que  $s_i$  est apparié avec  $s_{i+1}$ .

### Calcul du score.

Le score est calculé comme suit :

1. la variable *count* est initialisée à 0.
2.  $\mu$ , moyenne des données de  $s_0$  à  $s_{\lfloor \frac{N}{10} \rfloor - 1}$  est calculée.
3. Pour  $i = 1$  à  $\lfloor \frac{N}{10} \rfloor$  on incrémente *count* tel que :

$$\text{count} = \text{count} + (s_i - \mu)(s_{i-1} - \mu)$$

4. On obtient enfin le score :  $\text{Score} = \lfloor \frac{\text{count}}{\lfloor \frac{N}{10} \rfloor - 1} \rfloor$

### Exemple.

Étant donné le sous-ensemble :  $\{15, 2, 6, 10; 12\}$  de 5 éléments :

1.  $\mu = 9$
2. — Pour  $i = 1$ ,  $\text{count} = 0 + (2 - 9)(15 - 9) = -42$   
 — Pour  $i = 2$ ,  $\text{count} = -42 + (6 - 9)(2 - 9) = -21$   
 — Pour  $i = 3$ ,  $\text{count} = -24$   
 — Pour  $i = 4$ ,  $\text{count} = -21$
3.  $\text{Score} = \lfloor \frac{-21}{4} \rfloor = -5$

#### 1.5.1.1.10 Score de collision (3)

Une façon naturelle de tester l'entropie d'un générateur est de mesurer le nombre d'essais nécessaires pour obtenir une valeur identique à la première, en d'autres termes, le nombre d'essais nécessaires pour obtenir une collision. Ainsi, notre score de collision va mesurer le nombre d'essais successifs jusqu'à ce qu'un élément identique soit trouvé.

Dans le cas des données binaires, un sous ensemble de données binaires est converti en séquence de 8bits avant d'être testé.

#### Calcul des scores.

Les 3 scores de collisions sont calculés comme suit :

1. *Counts* est une liste d'échantillons nécessaires pour trouver une collision. La liste est vide à l'initialisation.
2.  $pos = 0$
3. Tant que  $pos < \lfloor \frac{N}{10} \rfloor$ 
  - (a) Trouver le plus petit  $j$  tel que  $s_{pos} \dots s_{pos+j}$ 
    - i. Si aucun  $j$  de ce type n'existe, on sort de la boucle tant que
  - (b) Ajouter  $j$  à la liste *Counts*
  - (c)  $pos = pos + j + 1$
4. On retourne les scores suivants :
  - (a) La valeur minimale de la liste *Counts* (score 1)
  - (b) La moyenne de la liste *Counts* (score 2)
  - (c) La valeur maximale de la liste *Counts* (score 3)

#### Exemple.

Considérant les données :  $\{2, 1, 1, 2, 0, 1, 0, 1, 1, 2\}$  de taille 10.

1. On exécute le contenu de la boucle tant que :
  - (a) Considérant 2 comme la 0e valeur, la première collision apparaît à  $j = 2$ , pour la valeur 1.
  - (b) On passe à une analyse sur le reste de l'ensemble initial non analysé :  $\{2, 0, 1, 0, 1, 1, 2\}$ . La première collision de ce sous-ensemble apparaît en  $j = 3$ , pour la valeur 0.
  - (c) On travaille à présent sur l'ensemble  $\{1, 1, 2\}$ . La première collision apparaît en  $j = 1$
  - (d) Enfin, on ne trouve aucune collision sur l'ensemble  $\{2\}$
2. On retourne les scores :
  - (a)  $\min(Counts) = 1$  (score 1)
  - (b)  $\mu_{Counts} = 2$  (score 2)
  - (c)  $\max(Counts) = 3$  (score 3)

#### 1.5.1.2 Test statistique spécifique : $\chi^2$

Dès lors que source d'entropie est considérée comme IID, alors la distribution de ces valeurs peut être considérée comme une distribution indépendante, une distribution multinomiale.

### Définition.

La **loi multinomiale** est une généralisation de la loi binomiale. On considère  $m$  résultats possibles (2 pour la loi binomiale). Soit  $N_i$  pour  $i \in \{1, \dots, m\}$  la variable aléatoire multinomiale ayant une probabilité  $p_i$ , telle que :

$$\sum_{i=1}^m N_i = 1 \text{ et } \sum_{i=1}^m p_i = 1$$

La densité de probabilité de cette loi s'écrit :

$$\mathbb{P}(N_1 = n_1, \dots, N_m = n_m) = \frac{n!}{n_1! \dots n_m!} p_1^{n_1} \dots p_m^{n_m}$$

Pour respectivement les espérances et variances suivantes :

$$\mathbb{E}[N_i] = np_i \text{ et } \mathbb{V}[N_i] = np_i(1 - p_i)$$

### Approximation.

Si les variables sont indépendantes,  $\sum_{i=1}^m \frac{(N_i - np_i)^2}{np_i(1-p_i)}$  suit une loi du  $\chi^2$  à  $m$  degrés de libertés. Ainsi, le test du  $\chi^2$  peut ici être utilisé pour tester si des données suivent une distribution multinomiale.

Plus généralement, le test peut être utilisé pour vérifier si des données suivent une distribution particulière, pourvu que celles-ci ne soient pas de trop grande taille. Deux types de tests sont proposés sur la source d'entropie :

- Le test d'indépendance entre des données successives obtenues (tests différents pour des données binaires et non binaires)
- Le test d'ajustement sur les 10 sous-ensembles de données, qui permet de vérifier si le modèle adopté pour les données est satisfaisant, ie. dans quelle mesure les résidus sont dus au hasard (tests différents pour des données binaires et non binaires).

Nous ne détaillerons pas dans ce rapport ces tests respectifs. Ils sont toutefois décrits dans le document du NIST SP800-90b.

## 1.5.2 Déterminer l'entropie minimale des sources IID

On souhaite à présent estimer l'entropie fournie par une source IID (données indépendantes et identiquement distribuées). Ce test est basé sur le nombre d'observations d'un échantillon le plus courant de la source de bruit ( $p_{max}$ ). Le but est de calculer la borne minimale d'entropie de la source.

### Calcul de l'entropie minimale.

Étant donné  $N$  échantillons  $\{x_1, \dots, x_n\}$

1. Trouver la valeur la plus souvent rencontrée dans le jeu de données
2. Compter le nombre d'occurrences de cette valeur, stocké dans  $C_{MAX}$
3. Calculer  $p_{max} = \frac{C_{MAX}}{N}$
4. Calculer  $C_{BOUND} = C_{MAX} + 2.3\sqrt{N * p_{max}(1 - p_{max})}$
5. Calculer  $H = -\log_2(\frac{C_{BOUND}}{N})$
6. Calculer le nombre d'éléments dans l'échantillon, que l'on stocke dans  $W$ .
7.  $\min(W, H)$  est l'entropie minimale

**Exemple.**

Considérant le jeu de données  $\{0, 1, 1, 2, 0, 1, 2, 2, 0, 1, 0, 1, 1, 0, 2, 2, 1, 0, 2, 1\}$  de 20 données :

— La valeur la plus courant du jeu de données est 1 (On compte 6 0, 8 1 et 6 2)

—  $C_{MAX} = 8$

—  $p_{max} = \frac{8}{20} = 0.4$

—  $C_{BOUND} = 8 + 2.3\sqrt{20 * 0.4 * 0.6} = 13.04$

—  $H = -\log_2(\frac{13.04}{20}) = 0.186$

—  $W = 3$

— Entropie minimale calculée :  $\min(3, 0.186) = 0.186$

## Chapitre 2

# Génération des clés

### 2.1 Définitions et contexte

### 2.2 Audits

#### 2.2.1 Audit 1 : Le générateur de Diffie-Hellman

##### 2.2.1.1 Normes visées

Voici l'algorithme de génération de  $g$ , d'après la RFC 2631 [51] datant de 1999 et dérivé de la FIPS-186 :

- 1- Soit  $j = (p - 1)/q$ .
- 2- Choisir  $h \in \mathbb{N}$ , tel que  $1 < h < p - 1$
- 3- Calculer  $g = h^j \mod p$
- 4- Si  $g = 1$  recommencer l'étape 2

Mais depuis 2006, on peut lire comme recommandation dans la RFC 4419 (pour une utilisation SSH) : "It is recommended to use 2 as generator, because it improves efficiency in multiplication performance. It is usable even when it is not a primitive root, as it still covers half of the space of possible residues."

##### 2.2.1.2 Faille

Lorsque nous avons étudié le code de Diffie-Hellman dans OpenSSL, nous nous sommes penchés sur un choix plutôt étrange. La valeur du générateur est toujours fixé à 2 ou à 5.

Le générateur de Diffie-Hellman n'étant pas une racine primitive dans  $\mathbb{Z}/\mathbb{Z}_p$ , les conséquences sont :

- L'espace des clés possibles est fortement réduit (Si  $g=2 \Rightarrow$  espace divisé par deux)
- Deux clés privées distinctes pourront avoir une clé publique commune
- La méthode de cryptanalyse Baby-step Giant-step peut s'en trouver facilité.

Évidemment, ce choix n'est pas une faille en soit, il n'est juste pas optimal et résulte d'un bon compromis entre vitesse et sécurité. Pour une sécurité optimale, il est conseillé de choisir un générateur qui soit une racine primitive, pour être certain que personne ne puisse signer, déchiffrer des messages à votre place !

### 2.2.1.3 Implémentation

#### Version OpenSSL.

#### Fonction.

La fonction liée à cette norme est accessible sous le paquetage `bla/bla/bla`, dont les composantes principales sont listées en *listing 4.2*.

```
1  #include <stdio.h>
2  #define N 10
3  /* Block
4   * comment */
5
6  int main()
7  {
8      int i;
9
10     // Line comment.
11     puts("Hello world!");
12
13     for (i = 0; i < N; i++)
14     {
15         puts("LaTeX is also great for programmers!");
16     }
17
18     return 0;
19 }
20
```

Listing 2.1 – codeAleatoire.c

## 2.2.2 Audit 2 : Diffie-Hellman Ephémère en mode FIPS

### 2.2.2.1 Normes visées

### 2.2.2.2 Faille

Une faille plus grave concerne le mode FIPS (Federal Information Processing Standard) d'OpenSSL, qui peut être compilé avec la commande `./config fipsanisterbuild`. En effet, un attaquant situé entre le client et le serveur connaissant la clé secrète du serveur peut déchiffrer une session SSL/TLS.

L'algorithme EDH/DHE (Diffie-Hellman Ephémère) permet de calculer une nouvelle clé connue uniquement du client et du serveur, donc l'attaquant intermédiaire ne peut plus déchiffrer la session. Cependant, en mode FIPS, OpenSSL ne rejette pas les paramètres P/Q faibles pour EDH/DHE. Lorsque OpenSSL est compilé en mode FIPS, un attaquant en Man-in-the-middle peut donc forcer la génération d'un secret Diffie Hellman prédictible.

#### Source :

[vigilance.fr/vulnerabilite/OpenSSL-Man-in-the-middle-FIPS-Diffie-Hellman-10585](http://vigilance.fr/vulnerabilite/OpenSSL-Man-in-the-middle-FIPS-Diffie-Hellman-10585)

Date : Avril 2011

### 2.2.2.3 Implémentation

Version OpenSSL.

#### Fonction.

La fonction liée à cette norme est accessible sous le paquetage bla/bla/bla, dont les composantes principales sont listées en *listing 4.2*.

```
1 #include <stdio.h>
2 #define N 10
3 /* Block
4  * comment */
5
6
7 int main()
8 {
9     int i;
10
11     // Line comment.
12     puts("Hello world!");
13
14     for (i = 0; i < N; i++)
15     {
16         puts("LaTeX is also great for programmers!");
17     }
18
19     return 0;
20 }
```

Listing 2.2 – codeAleatoire.c

### 2.2.3 Audit 1 : Le générateur de Diffie-Hellman

#### 2.2.3.1 Normes visées

#### 2.2.3.2 Faille

#### 2.2.3.3 Implémentation

Version OpenSSL.

#### Fonction.

La fonction liée à cette norme est accessible sous le paquetage bla/bla/bla, dont les composantes principales sont listées en *listing 4.2*.

```
1 #include <stdio.h>
2 #define N 10
3 /* Block
4  * comment */
5
6
7 int main()
8 {
```

```
9      int i;
11     // Line comment.
12     puts("Hello world!");
13     for (i = 0; i < N; i++)
14     {
15         puts("LaTeX is also great for programmers!");
16     }
17
18     return 0;
19 }
```

Listing 2.3 – codeAleatoire.c

## 2.2.4 Audit 1 : Le générateur de Diffie-Hellman

### 2.2.4.1 Normes visées

### 2.2.4.2 Faille

### 2.2.4.3 Implémentation

#### Version OpenSSL.

#### Fonction.

La fonction liée à cette norme est accessible sous le paquetage bla/bla/bla, dont les composantes principales sont listées en *listing 4.2*.

```
1  #include <stdio.h>
2  #define N 10
3  /* Block
4   * comment */
5
6  int main()
7  {
8      int i;
9
10     // Line comment.
11     puts("Hello world!");
12
13     for (i = 0; i < N; i++)
14     {
15         puts("LaTeX is also great for programmers!");
16     }
17
18     return 0;
19 }
```

Listing 2.4 – codeAleatoire.c



## 2.3 Recommandations générales



FIGURE 2.1 – Titre de figure 2.1

## Chapitre 3

# Chiffrement et Protocoles

### 3.1 Définitions et contexte

A remplir.

### 3.2 Audits

#### 3.2.1 Audit 1 : Les "Manger's attack" sur RSA-OAEP

##### 3.2.1.1 Normes visées

A remplir

##### 3.2.1.2 Faille

RSA-OAEP peut être soumis à une attaque nommée "Mangers Attack" selon son implantation [59]. OpenSSL semble être vulnérable à une attaque de ce type, à base de "prédictions" par injections de fautes. La vulnérabilité semble être très récente puisqu'elle fonctionne sous OpenSSL 1.0.0.

Le padding OAEP devait pallier le problème d'insécurité que causait le padding PKCS#1 v1.5 (attaque à chiffré choisi) [7]. OpenSSL a tout de même pris en compte cette vulnérabilité et a placé des contres-mesures efficaces. La Technische Universität Darmstadt (Allemagne) explique en détail comment sont implémentées ces contres-mesures et montre que dans certains cas l'attaque reste possible. Enfin, elle apporte ses propres contre-mesures.

On peut noter que plusieurs bibliothèques sont vulnérables à une attaque de Manger qui consiste à contrôler la taille des paramètres à haché, mais que l'implantation de RSA-OAEP d'OpenSSL ne le permet pas. La raison est que le décodage OAEP est linéaire quelque soit la taille des paramètres et les erreurs survenues. Il semble également y avoir un problème avec l'OAEP\_padding sur le chiffrement RSA. Bill Nickless recommande l'utilisation de PKCS\_padding. [46]

##### 3.2.1.3 Implémentation

#### Configuration visée.

L'étude a été réalisée sur la bibliothèque OpenSSL-1.0.0.

### Fonction.

La fonction audité se nomme `RSA_padding_check_PKCS1_OAEP()` et est accessible à partir du chemin `openssl/crypto/rsa/rsa_oaep.c`.

```
1 |         lzero = num - flen;  
2 |         if (lzero < 0)  
3 |         {  
4 |             /* signalling this error immediately after detection might allow  
5 |              * for side-channel attacks (e.g. timing if 'plen' is huge  
6 |              * -- cf. James H. Manger, "A Chosen Ciphertext Attack on RSA  
7 |              * Asymmetric Encryption Padding (OAEP) [...]", CRYPTO 2001),  
8 |              * so we use a 'bad' flag */  
9 |             bad = 1;  
10 |            lzero = 0;  
11 |            flen = num; /* don't overflow the memcpy to padded_from */  
12 |        }  
13 |    }
```

Listing 3.1 – `rsa_oaep.c`

Le développeur n'a pas considéré qu'il y avait un grand danger dans le code de contre-mesures. Pourtant l'étude confirme qu'il y a un décalage de temps possible, certes léger mais qui peut entraîner une attaque en "branch prediction" (qui peut se traduire en prédiction par dérivation).

#### 3.2.1.4 Conclusion

Il n'y a pas vraiment de quoi s'alarmer, cette attaque est en pratique infaisable sur un serveur car il y a suffisamment de variations de délais (différences de CPU, opérations multi-tâches, connexions réseaux, etc...) pour éviter une attaque par timing. Cependant, sur des systèmes embarqués l'attaque peut être réalisable, et il serait plus prudent de pallier ce problème.

### 3.2.2 Audit 2 : Chiffrement SSLv3 ou TLS 1.0 en mode CBC

#### 3.2.2.1 Normes visées

A remplir.

#### 3.2.2.2 Description de la faille

En Septembre 2011, une attaque en man in the middle très efficace a vu le jour contre les protocoles SSLv3 et TLS 1.0. [19] [29] [25] [22]. L'attaque est à clair choisi. Le but étant d'insérer des morceaux de texte clair grâce au navigateur dans la requête chiffrée avec ces protocoles, ceci afin de récupérer les cookies de session.

La technique est basique, un individu enregistre plusieurs cookies de session auprès de divers sites officiels (banques, messageries, etc...). Puis, il clique malencontreusement sur du code Java malveillant (publicité, image, etc...). et l'attaque se déroule automatiquement. L'ensemble des cookies est envoyé au serveur malveillant qui n'a plus qu'à déchiffrer les clés de session.

La cause viendrait du mode de chiffrement choisi : CBC. SSL/TLS est un protocole qui chiffre un canal de communication. De ce fait il ne chiffre pas un fichier unique, mais une série d'enregistrements. Il y a deux façons d'utiliser le mode CBC dans ce cas précis :

- Prendre chacun de ces enregistrements indépendamment des autres. Générer un nouveau vecteur d'initialisation à chaque fois.
- Traiter ces enregistrements comme un seul objet en les concaténant. Le vecteur d'initialisation est donc choisi aléatoirement pour le premier enregistrement et pour les autres, il aura pour valeur le dernier bloc de l'enregistrement précédent.

SSLv3 et TLS 1.0 utilisent ce deuxième choix, cela soulève un lourd problème de sécurité. En 2004, Moeller [41] trouve une méthode pour exploiter ce mauvais choix afin de récupérer des morceaux de textes clairs. Il y a certes une faille immense, mais peu exploitable. Les grandes entreprises savent (normalement) qu'il ne faut pas utiliser le mode CBC pour du chiffrement SSL/TLS. Et, dans tout les cas, plusieurs navigateurs ne permettent pas ce type d'attaque (c'est le cas de Chrome par exemple).

### 3.2.2.3 Tests

Nous n'avons pas repris les tests du logiciel BEAST qui s'avère être introuvable sur le Web (celui-ci étant un projet universitaire, développé par un étudiant de l'Université de Versailles). Mais une vidéo de l'exploit est accessible sur YouTube au lien ci-dessous :

**Lien YouTube :** <http://www.youtube.com/watch?v=ujz4SXzWK9o>

### 3.2.2.4 Recommandations

La faille existe tant que l'association de ces protocoles avec le mode de chiffrement CBC existe. Même si l'attaque est infaisable sur les navigateurs les plus répandus (Chrome, Firefox, IE, Safari, ...), OpenSSL devrait pouvoir interdire cette association, et ne pas laisser le travail aux navigateurs. Mais rien n'empêche l'utilisation de ce chiffrement par un navigateur plus léger, nous pourrions tester cette vulnérabilité lors de notre partie 3 si nous trouvons un navigateur acceptant ce type de chiffrement.

## 3.2.3 Audit 3 : Non-validation des certificats SSL

### 3.2.3.1 Normes visées

A remplir.

### 3.2.3.2 Description de la faille

Six chercheurs des universités de Stanford et d'Austin au Texas, analyse une attaque en Man in the Middle autour des certificats SSL sans utilisation d'un navigateur. Le titre est sans appel "Le code le plus dangereux du monde" [23].

SSL doit permettre d'être sécurisé en toutes circonstances, que le cache DNS soit empoisonné, que les attaquants contrôlent les points d'accès et les routeurs, etc. . Il assure théoriquement trois grands principes de la cryptologie : la confidentialité, l'intégrité et l'authentification. Nous connaissons certaines failles au niveau du navigateur et de l'implantation SSL (voir ci-dessus). Mais il existe également d'autres cas d'utilisation du protocole SSL. Par exemple :

- Administration à distance basé sur le cloud, stockage sécurisé sur le cloud en local.
- Transmissions de données sensibles (ex : e-commerce)
- Services en ligne comme les messageries électroniques
- Authentification via applications mobiles comme Android et iOS

L'étude montre que la validation des certificats SSL est casée sur plusieurs applications et librairies dont :

- OpenSSL
- JSSE
- CryptoAPI
- NSS
- GnuTLS
- etc...

En fait, un attaquant en Man In The Middle peut intercepter le secret entre un client et un serveur utilisant une connexion SSL. Il peut ainsi récupérer des numéros de carte bancaire, avoir accès à une messagerie, récupérer des mots de passes, etc... La cause principale vient du fait que les développeurs retouchent les librairies cryptographiques à leur façon. En voulant réparer un bug ou en souhaitant rendre SSL compatible avec leurs API, ils injectent de nouvelles vulnérabilités. De plus, l'application est souvent propriétaire et payante ce qui rend le débogage difficile.

Que ce soit accidentel ou intentionnel, l'une des conséquences les plus graves est la non-validation de certificat sur des contexte où la sécurité est primordiale (e.g. paiement en ligne). La faute ne revient pas directement au code d'OpenSSL, mais à une mauvaise utilisation des différentes fonctions et options.

Voici quelques exemples concrets concernant différentes API :

- Les services comme Amazon's Flexible Payments Service PHP et PayPal Payments Standard PHP passent le paramètre `CURLOPT_SSL_VERIFYHOST` à true alors que la valeur doit être passée à 2. La conséquence est la désactivation de la validation du certificat
- Lynx, un navigateur textuel très connu et souvent utilisé dans le développement d'applications, vérifie les certificats auto-signés seulement si la fonction de validation de certificat GnuTLS retourne une valeur négative. Malheureusement, dans certains cas la fonction peut retourner 0 pour certaines erreurs (dont les certificats signés par une autorité sans confiance).
- La librairie `SSLSocketFactory` de JSSE, très réputée, ne fait pas de vérification si la cypher suite du client vaut NULL ou est une chaîne vide.
- Vulnérabilités sur Apache `HttpClient`, `WebSockets`, `Android`, ...
- Autres causes célèbres : non reconnaissance des expressions régulières, non vérification du résultat de la validation, désactivation de l'authentification.

### 3.2.3.3 Difficultés du code OpenSSL

OpenSSL ne déroge pas à la règle.

Voici quelques vulnérabilités du code :

- Les contraintes de nom `x509` ne sont pas correctement validés.
- Les applications DOIVENT fournir elles même leur code de vérification de nom d'hôte. Or, des protocoles comme HTTPS, LDAP ont chacun leurs propres notions de validations. Ainsi, Apache

Libcloud utilise les librairie Python eux-même utilisant des commandes OpenSSL. Et sa méthode de vérification du nom d'hôte comporte des vulnérabilités pouvant causer des attaques en man in the middle (e.g "google.com" et "oogle.com" vérifie la même expression régulière)

- Un programme utilisant OpenSSL peut exécuter la fonction `SSL_connect` pour le handshake SSL. Bien que certaines erreurs de validation soient signalées par `SSL_connect`, d'autres ne peuvent être vérifier qu'en appelant la fonction `SSL_get_verify_result`, alors que `SSL_connect` se contente de retourner "OK".

#### 3.2.3.4 Exemple : Trillian

Trillian est une messagerie cliente instantanée reliée à OpenSSL pour la sécurisation de l'établissement de connexion. Par défaut OpenSSL ne soulève pas d'exception en cas de certificat auto-signé ou de non-confiance auprès de la chaîne de vérification. A la place, il envoie un drapeau. De plus, il ne vérifie jamais le nom d'hôte. Si l'application appelle la fonction `SSL_CTX_set` pour initialiser le drapeau `SSL_VERIFY_PEER`, alors `SSL_connect` se ferme et affiche un message d'erreur lorsque le certificat n'est pas valide. Mais Trillian n'initialise jamais ce drapeau. Par conséquent, `SSL_connect` va retourner 1 et le statut de la validation du certificat peut être connu en appelant la fonction `SSL_get_verify_result`. Encore une fois, Trillian n'appelle pas cette fonction. Les conséquences sont très lourdes : vols de mots de passes, compromissions de services, révélations des paramètres de sécurité, etc...

L'étude montre que l'attaque est possible sur la version 5.1.0.19 et antérieure de Trillian.

#### 3.2.3.5 Conclusion

Les chercheurs nous donnent alors plusieurs leçons à retenir, dont voici quelques points :

- Premièrement, les vulnérabilités doivent être trouvées et réparées lors des phases de tests. Certaines se trouvent très facilement si les procédures de tests sont bien réalisées.
- Deuxièmement, la plupart des librairies SSL ne sont pas **sûres par défaut**, laissant le choix de la sécurité aux applications de plus haut niveau avec choix des options, choix de la vérification de l'hôte, choix d'interprétation des résultats.
- Troisièmement, même les librairies SSL sûrs par défaut peuvent être mal utilisées par des développeurs changeant les paramètres par défaut par des paramètres non sécurisés. La cause peut venir d'une **mauvaise documentation** ou d'une mauvaise formalisation de la part de l'API. Les API devraient entre autre proposer des abstractions de haut niveau pour les développeurs comme des tunnels d'authentification, plutôt que de les laisser traiter des détails de bas niveau comme la vérification du nom d'hôte.

Nous conseillons surtout une meilleure documentation d'OpenSSL, et des rapports d'erreurs d'interfaces plus simples et plus consistants afin d'éviter les erreurs d'interprétation. L'idée des chercheurs de proposer des abstractions de haut niveau pour les applications semblent être une très bonne idée.

### 3.3 Recommandations générales



FIGURE 3.1 – Titre de figure 2.1

## Chapitre 4

# Signature et authentification

### 4.1 Définitions et contexte

### 4.2 Audits

#### 4.2.1 Audit 1 : Attaque par injection de fautes sur les certificats RSA

##### 4.2.1.1 Normes visées

Dans la RFC 3447 [31], la signature est décrite telle une primitive de signature qui produit la représentation de la signature depuis un message sous le contrôle d'une clef privée. La vérification se fait alors en récupérant la représentation du message depuis la représentation de la signature sous le contrôle de la clef publique correspondante.

La signature se déroule en deux opérations qui sont la génération et la vérification. L'opération de génération consiste donc à générer une signature depuis un message avec la clef privée de l'utilisateur (signataire) et l'opération de vérification consiste à vérifier la signature en se basant sur le message en utilisant la clef publique du signataire. Ce schéma peut être utilisé dans de multiples applications telles que les certificats X.509.

La norme spécifie deux types de schéma de signature qui sont :

- RSASSA-PSS
- RSASSA-PKCS1-v1\_5

Même si aucune attaque n'est connue contre RSASSA-PKCS1-v1\_5, RSASSA-PSS est recommandé dans l'intérêt d'augmenter la robustesse d'un système. RSASSA-PKCS1-v1\_5 est toujours incluse pour des raisons de compatibilités avec les applications existantes et, même s'elle est toujours appropriée dans les nouvelles applications, une transition vers RSASSA-PSS est encouragée.

La norme décrit un modèle général à suivre (qui est également utilisé pour IEEE Std 1363-2000) combinant les primitives de signature et de vérification avec une méthode d'encodage sur les signatures. L'opération de génération de signature applique une opération d'encodage de message à un message pour produire un message encodé, qui est ensuite converti en un entier représentatif du message. Une primitive de signature est alors appliquée sur la représentation du message pour produire la signature.



Dans le sens inverse, l'opération de vérification de signature applique une primitive de vérification de signature à la signature pour récupérer la représentation du message, qui est alors convertie dans un message de chaîne de caractères encodée. L'opération de vérification est appliquée au message et au message encodé pour déterminer s'ils consistent bien en l'un et l'autre.

### RSASSA-PSS :

RSASSA-PSS combine les primitives RSASP1 et RSAVP1 avec la méthode d'encodage EMSA-PSS. La longueur du message sur laquelle RSASSA-PSS peut travailler est soit illimité, soit contrainte par une très grande valeur, dépendant de la fonction de hachage. Contrairement à RSASSA-PKCS1-v1\_5, un identificateur de fonction de hachage n'est pas inclus dans le message encodé par EMSA-PSS. De ce fait, en théorie, il est possible pour un attaquant de substituer une autre fonction de hachage (potentiellement plus faible) que celle sélectionnée par le signataire. Il est alors recommandé que la fonction de génération de masquage d'EMSA-PSS soit basée sur la même fonction de hachage. De cette façon, l'encodage de tout entier sera dépendant de la fonction de hachage et il sera plus difficile pour un adversaire de substituer une autre fonction que ce qui a été sélectionné par le signataire.

La comparaison entre fonctions de hachage est seulement utilisée pour empêcher la substitution de fonction de hachage, et n'est pas nécessaire si la fonction de hachage est substituée d'une autre façon (e.g., le vérificateur n'accepte qu'une fonction de hachage désignée).

Ce qui est différent pour RSASSA-PSS des autres méthodes de signature RSA, c'est qu'il est probabiliste plutôt que déterministe, du fait de l'incorporation d'un aléa. Cette valeur d'aléa augmente la sécurité de la méthode. Cependant, le fait que la valeur soit aléatoire n'est pas critique pour la sécurité. Dans les situations où l'aléatoire n'est pas possible, une valeur fixe ou une séquence de nombre peut être employée plutôt, et avec une sécurité similaire.

#### 4.2.1.2 Faille

L'Université du Michigan a réussi l'exploit de récupérer la clé privée d'un certificat RSA en un peu plus de 100h [50] [24]. L'attaque fonctionne par injection de fautes [35] sur la méthode d'authentification. La technique est donc très poussée, mais le résultat en vaut la chandelle. L'injection de faute doit se faire sur quelques bits pour ne pas faire dysfonctionner le système tout entier. Les signatures erronées produites révéleront de l'information sur la clé privée. Avec le bon matériel et 100h d'attente, la clé peut être reforgée.

La cause venait de l'algorithme d'exponentiation modulaire (Fixed-Window Exponentiation), qui a l'inconvénient d'utiliser plus de 1000 multiplications, la multiplication étant très sensible en cas de dégradation du microprocesseur. *"The fixed-window exponentiation algorithm in the OpenSSL library does not validate the correctness of the signature produced before sending it to the client, a vulnerability that we exploit in our attack"*

Malheureusement, il faut pouvoir contrôler la machine (en ayant un accès au BIOS par exemple) pour pouvoir exploiter cette faille.

#### 4.2.1.3 Implémentation

##### Version OpenSSL.

##### Fonction.

La fonction liée à cette norme est accessible sous le paquetage `bla/bla/bla`, dont les composantes principales sont listées en *listing 4.2*.

```
1 #include <stdio.h>
2 #define N 10
3 /* Block
4  * comment */
5
6
7 int main()
8 {
9     int i;
10
11     // Line comment.
12     puts("Hello world!");
13
14     for (i = 0; i < N; i++)
15     {
16         puts("LaTeX is also great for programmers!");
17     }
18
19     return 0;
20 }
```

Listing 4.1 – codeAleatoire.c

#### 4.2.2 Audit 2 : Malformation des signatures DSA/ECDSA

##### 4.2.2.1 Normes visées

##### 4.2.2.2 Faille

En 2008, une vulnérabilité sur la malformation des signatures survient sur OpenSSL (re-analysé en Novembre 2012) [57] [63]. Dans les recommandations générales, il est clairement indiqué que ce sont les clients qui ne doivent plus utiliser une ancienne version d'OpenSSL ou alors ne pas utiliser de certificats DSA/ECDSA. Reste à savoir si c'est toujours d'actualité (e.g. si la faille est toujours exploitable), et si les serveurs respectent bien la recommandation. En 2009, un cas similaire a été trouvé dans un autre protocole (NTP) avec la même fonction `EVP_VerifyFinal` [62].

##### 4.2.2.3 Implémentation

##### Version OpenSSL.

### Fonction.

La fonction liée à cette norme est accessible sous le paquetage bla/bla/bla, dont les composantes principales sont listées en *listing 4.2*.

```
1  #include <stdio.h>
2  #define N 10
3  /* Block
4   * comment */
5
6  int main()
7  {
8      int i;
9
10     // Line comment.
11     puts("Hello world!");
12
13     for (i = 0; i < N; i++)
14     {
15         puts("LaTeX is also great for programmers!");
16     }
17
18     return 0;
19 }
```

Listing 4.2 – codeAleatoire.c

## 4.3 Recommandations générales



FIGURE 4.1 – Titre de figure 2.1

## Chapitre 5

# Protocoles SSL/TLS

### 5.1 Définitions et contexte

SSL et TLS (successeur de SSL) sont des protocoles de sécurisation des échanges sur internet. Les versions 2 et 3 de SSL ont été développées par Netscape puis le brevet a été racheté par l'IETF en 2001 qui a publié une évolution de ce protocole en TLS. Ce protocole fonctionne selon un mode client-serveur et fournit les objectifs de sécurité suivants :

- authentification serveur/client ;
- confidentialité des données échangées ;
- intégrité des données échangées.

Du point de vue réseau, ce protocole se situe dans la couche session du modèle OSI et entre transport et application dans le modèle TCP.

Pour simplifier la compréhension des parties suivantes, le schéma 5.1 représente de manière large l'établissement d'une connexion SSL/TLS. Les données entre accolades sont chiffrées avec la clef indiquée en indice. La *masterkey* est la clef principale qui sera dérivée pour chiffrer chaque message.

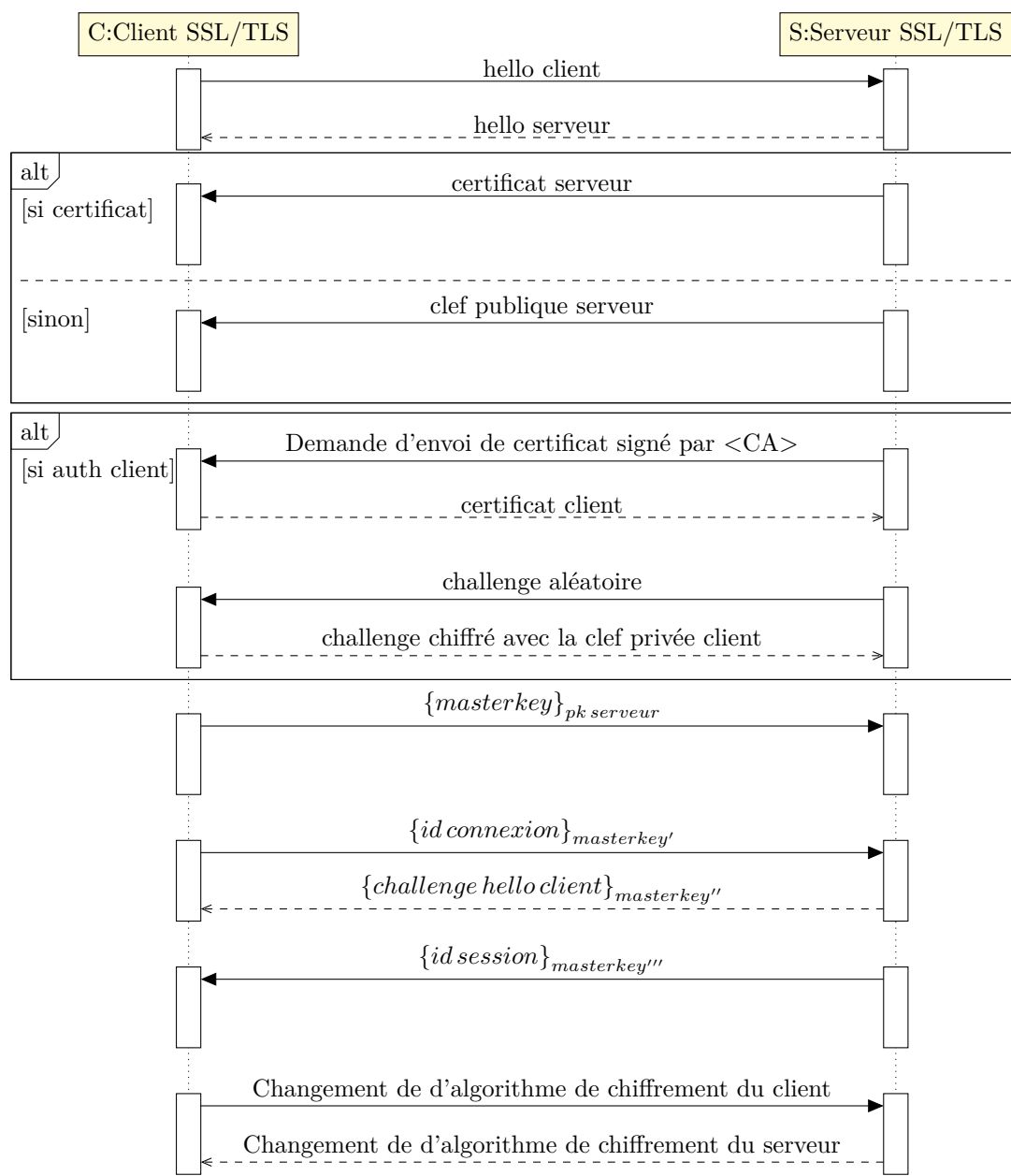


FIGURE 5.1 – Schéma global d'une connexion SSL/TLS

**hello client** Version du protocole SSL avec laquelle le client souhaite communiquer, challenge, algorithmes de chiffrement supportés par le client, méthodes de compressions supportées par le client.

**hello serveur** Version du protocole SSL calculée par le serveur (plus haute version du serveur supportée également par le client), challenge, id de session, algorithmes de chiffrement supportés par le serveur, méthodes de compression supportées par le serveur.

## 5.2 Audits

### 5.2.1 Audit 1 : SSL version 2

#### 5.2.1.1 Spécifications

Il n'existe pas de RFC pour SSL version 2. En effet, ce protocole a été pensé et développé par la société Netscape Communications. Cette version est sortie en 1994. Toutefois, on trouve des morceaux d'informations dans la RFC 6176 [61] et le draft de Hickman [28].

Identifiant	KeyExch	Authn	Enc	MAC
SSL_CK_RC2_128_CBC_WITH_MD5	RSA	RSA	RC2.128 CBC	MD5
SSL_CK_RC2_128_CBC_EXPORT40_WITH_MD5	RSA.512	RSA	RC4.40 CBC	MD5
SSL_CK_IDEA_128_CBC_WITH_MD5	RSA	RSA	IDEA.128 CBC	MD5
SSL_CK_DES_64_CBC_WITH_MD5	RSA	RSA	DES.56 CBC	MD5
SSL_CK_DES_192_EDE3_CBC_WITH_MD5	RSA	RSA	3DES.168 CBC	MD5
SSL_CK_RC4_128_WITH_MD5	RSA	RSA	RC4.128	MD5
SSL_CK_RC4_128_EXPORT40_WITH_MD5	RSA.512	RSA	RC4.40	MD5

TABLE 5.1 – Algorithmes supportés SSLV2

**Remarque** Le CK signifie CIPHER-KIND.

#### 5.2.1.2 Implémentation

Dans le code d'OpenSSL, cette version du protocole SSL se trouve dans les fichiers commençant par `ss2_` du répertoire `ssl/`. Les constantes sont déclarées dans le fichier `ssl2.h`, on retrouve bien les algorithmes du draft comme montré sur le tableau 5.2.

Identifiant	Constante OpenSSL
SSL_CK_RC2_128_CBC_WITH_MD5	SSL2_CK_RC2_128_CBC_WITH_MD5
SSL_CK_RC2_128_CBC_EXPORT40_WITH_MD5	SSL2_CK_RC2_128_CBC_EXPORT40_WITH_MD5
SSL_CK_IDEA_128_CBC_WITH_MD5	SSL2_CK_IDEA_128_CBC_WITH_MD5
SSL_CK_DES_64_CBC_WITH_MD5	SSL2_CK_DES_64_CBC_WITH_MD5
SSL_CK_DES_192_EDE3_CBC_WITH_MD5	SSL2_CK_DES_192_EDE3_CBC_WITH_MD5
SSL_CK_RC4_128_WITH_MD5	SSL2_CK_RC4_128_WITH_MD5
SSL_CK_RC4_128_EXPORT40_WITH_MD5	SSL2_CK_RC4_128_EXPORT40_WITH_MD5

TABLE 5.2 – Algorithmes supportés par OpenSSL SSLv2

On y trouve également des constantes non définies dans le draft avec des commentaires très succincts :

```
— SSL2_CK_NULL_WITH_MD5 /* v3 */
— SSL2_CK_DES_64_CBC_WITH_SHA /* v3 */
— SSL2_CK_DES_192_EDE3_CBC_WITH_SHA /* v3 */
— SSL2_CK_RC4_64_WITH_MD5 /* MS hack */
— SSL2_CK_DES_64_CFB64_WITH_MD5_1 /* SSLeay */
— SSL2_CK_NULL /* SSLeay */
```

Les constantes commentées avec v3 sont présentes pour des raisons de rétro-compatibilité depuis SSL v3. Celles commentées par SSLeay sont des vestiges de l'ancêtre d'OpenSSL : SSLeay. Elles sont sûrement conservées pour la rétro-compatibilité avec des vieux logiciels utilisant SSLeay. La MS hack est spécifique à Windows

## 5.2.2 Audit 2 : SSL version 3

### 5.2.2.1 Spécifications

La version 3 du protocole SSL est décrite dans la RFC 6101 [21]. On y trouve notamment en section A.6 la liste des algorithmes de chiffrement pouvant être utilisés avec cette version, référencés sur la tableau 5.3.

Identifiant	KeyExch	Authn	Enc	MAC
SSL_NULL_WITH_NULL_NULL	NULL	NULL	NULL	NULL
SSL_RSA_WITH_NULL_MD5	RSA	RSA	NULL	MD5
SSL_RSA_WITH_NULL_SHA	RSA	RSA	NULL	SHA1
SSL_RSA_EXPORT_WITH_RC4_40_MD5	RSAdex	RSAdex	RC4.40	MD5
SSL_RSA_WITH_RC4_128_MD5	RSA	RSA	RC4.128	MD5
SSL_RSA_WITH_RC4_128_SHA	RSA	RSA	IDEA.128	SHA1
SSL_RSA_EXPORT_WITH_RC2_CBC_40_MD5	RSAdex	RSAdex	RC2.40 CBC	MD5
SSL_RSA_WITH_IDEA_CBC_SHA	RSA	RSA	IDEA.128 CBC	SHA1
SSL_RSA_EXPORT_WITH_DES40_CBC_SHA	RSAdex	RSAdex	DES.40	SHA1
SSL_RSA_WITH_DES_CBC_SHA	RSA	RSA	DES.56 CBC	SHA1
SSL_RSA_WITH_3DES_EDE_CBC_SHA	RSA	RSA	3DES.168 CBC	SHA1
SSL_DH_DSS_EXPORT_WITH_DES40_CBC_SHA	DH	DSS	DES.40 CBC	SHA1
SSL_DH_DSS_WITH_DES_CBC_SHA	DH	DSS	DES.56 CBC	SHA1
SSL_DH_DSS_WITH_3DES_EDE_CBC_SHA	DH	DSS	3DES.168 CBC	SHA1
SSL_DH_RSA_EXPORT_WITH_DES40_CBC_SHA	DH	RSA	DES.40 CBC	SHA1
SSL_DH_RSA_WITH_DES_CBC_SHA	DH	RSA	DES.56 CBC	SHA1
SSL_DH_RSA_WITH_3DES_EDE_CBC_SHA	DH	RSA	3DES.168 CBC	SHA1
SSL_DHE_DSS_EXPORT_WITH_DES40_CBC_SHA	DHE.512	DSS	DES.40 CBC	SHA1
SSL_DHE_DSS_WITH_DES_CBC_SHA	DHE	DSS	DES.56 CBC	SHA1
SSL_DHE_DSS_WITH_3DES_EDE_CBC_SHA	DHE	DSS	3DES.168 CBC	SHA1
SSL_DHE_RSA_EXPORT_WITH_DES40_CBC_SHA	DHE.512	RSA	DES.40CBC	SHA1
SSL_DHE_RSA_WITH_DES_CBC_SHA	DHE	RSA	DES.56 CBC	SHA1
SSL_DHE_RSA_WITH_3DES_EDE_CBC_SHA	DHE	RSA	3DES.168 CBC	SHA1
SSL_DH_anon_EXPORT_WITH_RC4_40_MD5	DH.512	None	RC4.40	MD5
SSL_DH_anon_WITH_RC4_128_MD5	DH	None	RC4.128	MD5
SSL_DH_anon_EXPORT_WITH_DES40_CBC_SHA	DH.512	None	DES.40 CBC	SHA1
SSL_DH_anon_WITH_DES_CBC_SHA	DH	None	DES.56 CBC	SHA1
SSL_DH_anon_WITH_3DES_EDE_CBC_SHA	DH	None	3DES.168 CBC	SHA1
SSL_FORTEZZA_KEA_WITH_NULL_SHA	FRTZA	KEA	None	SHA1
SSL_FORTEZZA_KEA_WITH_FORTEZZA_CBC_SHA	FRTZA	KEA	FRTZA	SHA1
SSL_FORTEZZA_KEA_WITH_RC4_128_SHA	FRTZA	KEA	RC4.128	SHA1

TABLE 5.3 – Algorithmes supportés SSLv3

### 5.2.2.2 Implémentation

Dans le code d'OpenSSL, cette version du protocole SSL se trouve dans les fichiers commençant par `s3_` du répertoire `ssl/`. Les constantes sont déclarées dans le fichier `ssl3.h`, on y retrouve les algorithmes de la RFC, référencés en table 5.4.

Identifiant	Constante OpenSSL
SSL_NULL_WITH_NULL_NULL	
SSL_RSA_WITH_NULL_MD5	SSL3_CK_RSA_NULL_MD5
SSL_RSA_WITH_NULL_SHA	SSL3_CK_RSA_NULL_SHA
SSL_RSA_EXPORT_WITH_RC4_40_MD5	SSL3_CK_RSA_RC4_40_MD5
SSL_RSA_WITH_RC4_128_MD5	SSL3_CK_RSA_RC4_128_MD5
SSL_RSA_WITH_RC4_128_SHA	SSL3_CK_RSA_RC4_128_SHA
SSL_RSA_EXPORT_WITH_RC2_CBC_40_MD5	SSL3_CK_RSA_RC2_40_MD5
SSL_RSA_WITH_IDEA_CBC_SHA	SSL3_CK_RSA_IDEA_128_SHA
SSL_RSA_EXPORT_WITH_DES40_CBC_SHA	SSL3_CK_RSA_DES_40_CBC_SHA
SSL_RSA_WITH_DES_CBC_SHA	SSL3_CK_RSA_DES_64_CBC_SHA
SSL_RSA_WITH_3DES_EDE_CBC_SHA	SSL3_CK_RSA_DES_192_CBC3_SHA
SSL_DH_DSS_EXPORT_WITH_DES40_CBC_SHA	SSL3_CK_DH_DSS_DES_40_CBC_SHA
SSL_DH_DSS_WITH_DES_CBC_SHA	SSL3_CK_DH_DSS_DES_64_CBC_SHA
SSL_DH_DSS_WITH_3DES_EDE_CBC_SHA	SSL3_CK_DH_DSS_DES_192_CBC3_SHA
SSL_DH_RSA_EXPORT_WITH_DES40_CBC_SHA	SSL3_CK_DH_RSA_DES_40_CBC_SHA
SSL_DH_RSA_WITH_DES_CBC_SHA	SSL3_CK_DH_RSA_DES_64_CBC_SHA
SSL_DH_RSA_WITH_3DES_EDE_CBC_SHA	SSL3_CK_DH_RSA_DES_192_CBC3_SHA
SSL_DHE_DSS_EXPORT_WITH_DES40_CBC_SHA	SSL3_CK_DHE_DSS_DES_40_CBC_SHA
SSL_DHE_DSS_WITH_DES_CBC_SHA	SSL3_CK_DHE_DSS_DES_64_CBC_SHA
SSL_DHE_DSS_WITH_3DES_EDE_CBC_SHA	SSL3_CK_DHE_DSS_DES_192_CBC3_SHA
SSL_DHE_RSA_EXPORT_WITH_DES40_CBC_SHA	SSL3_CK_DHE_RSA_DES_40_CBC_SHA
SSL_DHE_RSA_WITH_DES_CBC_SHA	SSL3_CK_DHE_RSA_DES_64_CBC_SHA
SSL_DHE_RSA_WITH_3DES_EDE_CBC_SHA	SSL3_CK_DHE_RSA_DES_192_CBC3_SHA
SSL_DH_anon_EXPORT_WITH_RC4_40_MD5	SSL3_CK_ADH_RC4_40_MD5
SSL_DH_anon_WITH_RC4_128_MD5	SSL3_CK_ADH_RC4_128_MD5
SSL_DH_anon_EXPORT_WITH_DES40_CBC_SHA	SSL3_CK_ADH_DES_40_CBC_SHA
SSL_DH_anon_WITH_DES_CBC_SHA	SSL3_CK_ADH_DES_64_CBC_SHA
SSL_DH_anon_WITH_3DES_EDE_CBC_SHA	SSL3_CK_ADH_DES_192_CBC3_SHA
SSL_FORTEZZA_KEA_WITH_NULL_SHA	SSL3_CK_FZA_DMS_NULL_SHA
SSL_FORTEZZA_KEA_WITH_FORTEZZA_CBC_SHA	SSL3_CK_FZA_DMS_FZA_SHA
SSL_FORTEZZA_KEA_WITH_RC4_128_SHA	SSL3_CK_FZA_DMS_RC4_SHA

TABLE 5.4 – Algorithmes supportés par OpenSSL, SSLv3

**Attention** Les 3 algorithmes FORTEZZA sont commentés dans OpenSSL depuis le commit 89bbe14c506b9bd2fd00e6bae22a99ef1ee7ad19 de 2006.

**Remarque** OpenSSL déclare d'autres constantes pour utiliser SSL 3 avec Kerberos 5 :

— SSL3\_CK\_KRB5\_DES\_64\_CBC\_SHA



```
— SSL3_CK_KRB5_DES_192_CBC3_SHA
— SSL3_CK_KRB5_RC4_128_SHA
— SSL3_CK_KRB5_IDEA_128_CBC_SHA
— SSL3_CK_KRB5_DES_64_CBC_MD5
— SSL3_CK_KRB5_DES_192_CBC3_MD5
— SSL3_CK_KRB5_RC4_128_MD5
— SSL3_CK_KRB5_IDEA_128_CBC_MD5
— SSL3_CK_KRB5_DES_40_CBC_SHA
— SSL3_CK_KRB5_RC2_40_CBC_SHA
— SSL3_CK_KRB5_RC4_40_SHA
— SSL3_CK_KRB5_DES_40_CBC_MD5
— SSL3_CK_KRB5_RC2_40_CBC_MD5
— SSL3_CK_KRB5_RC4_40_MD5
```

### 5.2.2.3 Failles

#### 5.2.2.3.1 CVE-2013-4353

Cette faille découverte par Anton Johansson [30] permet de faire planter OpenSSL avec un déréférencement de pointeur NULL et peut ainsi causer des dénis de service. Cette faille a été corrigée le 7 janvier 2014 par Stephen Henson. Voici le patch de correction dans la fonction `ssl3_take_mac` du fichier `ssl/s3_both.c` :

```
1  _____ ssl/s3_both.c _____
2  diff --git a/ssl/s3_both.c b/ssl/s3_both.c
3  index 8de149a..0a259b1 100644
4  --- a/ssl/s3_both.c
5  +++ b/ssl/s3_both.c
6  @@ -203,7 +203,11 @@
7  {
8     const char *sender;
9     int slen;
10  -
11  + /* If no new cipher setup return immediately: other functions will
12  +  * set the appropriate error.
13  + */
14  + if (s->s3->tmp.new_cipher == NULL)
15  +     return;
16  + if (s->state & SSL_ST_CONNECT)
17  +     {
18         sender=s->method->ssl3_enc->server_finished_label;
```

Listing 5.1 – patch-cve-2013-4353

#### 5.2.2.3.2 Attaque sur le padding CBC de Serge Vaudenay

Cette attaque [65] fait partie de la famille des attaques par canaux auxiliaires et plus particulièrement des timing attacks. En effet, lorsqu'OpenSSL déchiffre en mode CBC, le temps varie en fonction de la longueur du message et du padding. Pour que l'attaque fonctionne, il faut utiliser un oracle de padding qui valide ou non le padding d'un chiffré.

Ben Laurie a appliqué un correctif du code OpenSSL le 28 janvier 2013 qui rend le décodage CBC constant, que le padding soit correct ou non. Le code a été placé dans une nouvelle fonction `tls1_cbc_remove_padding`

du fichier `ssl/s3_cbc.c`

### 5.2.2.3.3 CVE-2011-4576

Cette faille permettait de récupérer des données d'un déchiffrement précédent. En effet, le buffer n'était pas réinitialisé. Cette faille a été identifiée [34] et corrigée par Adam Langley le 4 janvier 2011, voici le patch appliqué :

```
----- ssl/s3_enc.c -----
2 diff --git a/ssl/s3_enc.c b/ssl/s3_enc.c
  index 0ddfe19..c5df2cb 100644
  --- a/ssl/s3_enc.c
  +++ b/ssl/s3_enc.c
  @@ -512,6 +512,9 @@
 
      /* we need to add 'i-1' padding bytes */
      l+=i;
10 +     /* the last of these zero bytes will be overwritten
11 +      * with the padding length. */
12 +     memset(&rec->input[rec->length], 0, i);
      rec->length+=i;
14     rec->input[l-1]=(i-1);
  }
```

Listing 5.2 – patch-cve-2011-4576

## 5.2.3 Audit 3 : TLS version 1

### 5.2.3.1 Spécifications

La version 1 de TLS est décrite dans la RFC 2246 [15]. Ce protocole est assez similaire à SSL 3 mais il y a quelques différences notables. Il y est notamment prévu un mécanisme de rétro-compatibilité vers SSL 3. La plus grosse différence est que TLS, contrairement à SSL, permet de commencer une connexion non chiffré sur un port usuel tel que le 80 et bascule en mode chiffré avec la commande STARTTLS.

Du point de vue des algorithmes de chiffrement, on a globalement la même liste que SSL 3 et les algorithmes de Fortezza ont été retirés, comme on peut le constater sur le tableau 5.5.

Identifiant	KeyExch	Authn	Enc	MAC
TLS_NULL_WITH_NULL_NULL	NULL	NULL	NULL	NULL
TLS_RSA_WITH_NULL_MD5	RSA	RSA	NULL	MD5
TLS_RSA_WITH_NULL_SHA	RSA	RSA	NULL	SHA1
TLS_RSA_EXPORT_WITH_RC4_40_MD5	RSaex	RSaex	RC4.40	MD5
TLS_RSA_WITH_RC4_128_MD5	RSA	RSA	RC4.128	MD5
TLS_RSA_WITH_RC4_128_SHA	RSA	RSA	IDEA.128	SHA1
TLS_RSA_EXPORT_WITH_RC2_CBC_40_MD5	RSaex	RSaex	RC2.40 CBC	MD5
TLS_RSA_WITH_IDEA_CBC_SHA	RSA	RSA	IDEA.128 CBC	SHA1
TLS_RSA_EXPORT_WITH_DES40_CBC_SHA	RSaex	RSaex	DES.40	SHA1
TLS_RSA_WITH_DES_CBC_SHA	RSA	RSA	DES.56 CBC	SHA1
TLS_RSA_WITH_3DES_EDE_CBC_SHA	RSA	RSA	3DES.168 CBC	SHA1
TLS_DH_DSS_EXPORT_WITH_DES40_CBC_SHA	DH	DSS	DES.40 CBC	SHA1
TLS_DH_DSS_WITH_DES_CBC_SHA	DH	DSS	DES.56 CBC	SHA1
TLS_DH_DSS_WITH_3DES_EDE_CBC_SHA	DH	DSS	3DES.168 CBC	SHA1
TLS_DH_RSA_EXPORT_WITH_DES40_CBC_SHA	DH	RSA	DES.40 CBC	SHA1
TLS_DH_RSA_WITH_DES_CBC_SHA	DH	RSA	DES.56 CBC	SHA1
TLS_DH_RSA_WITH_3DES_EDE_CBC_SHA	DH	RSA	3DES.168 CBC	SHA1
TLS_DHE_DSS_EXPORT_WITH_DES40_CBC_SHA	DHE.512	DSS	DES.40 CBC	SHA1
TLS_DHE_DSS_WITH_DES_CBC_SHA	DHE	DSS	DES.56 CBC	SHA1
TLS_DHE_DSS_WITH_3DES_EDE_CBC_SHA	DHE	DSS	3DES.168 CBC	SHA1
TLS_DHE_RSA_EXPORT_WITH_DES40_CBC_SHA	DHE.512	RSA	DES.40CBC	SHA1
TLS_DHE_RSA_WITH_DES_CBC_SHA	DHE	RSA	DES.56 CBC	SHA1
TLS_DHE_RSA_WITH_3DES_EDE_CBC_SHA	DHE	RSA	3DES.168 CBC	SHA1
TLS_DH_anon_EXPORT_WITH_RC4_40_MD5	DH.512	None	RC4.40	MD5
TLS_DH_anon_WITH_RC4_128_MD5	DH	None	RC4.128	MD5
TLS_DH_anon_EXPORT_WITH_DES40_CBC_SHA	DH.512	None	DES.40 CBC	SHA1
TLS_DH_anon_WITH_DES_CBC_SHA	DH	None	DES.56 CBC	SHA1
TLS_DH_anon_WITH_3DES_EDE_CBC_SHA	DH	None	3DES.168 CBC	SHA1

TABLE 5.5 – Algorithmes supportés TLS1

**Algorithmes supplémentaires de la RFC 3268** La RFC prévoit la possibilité d'étendre cette liste. Ainsi, la RFC 3268 [10] apporte des nouvelles constantes avec AES et SHA-1, listés sur le tableau ??.

Identifiant	KeyExch	Authn	Enc	MAC
TLS_RSA_WITH_AES_128_CBC_SHA	RSA	RSA	AES 128 CBC	SHA1
TLS_DH_DSS_WITH_AES_128_CBC_SHA	DH	DSS	AES 128 CBC	SHA1
TLS_DH_RSA_WITH_AES_128_CBC_SHA	DH	RSA	AES 128 CBC	SHA1
TLS_DHE_DSS_WITH_AES_128_CBC_SHA	DHE	DSS	AES 128 CBC	SHA1
TLS_DHE_RSA_WITH_AES_128_CBC_SHA	DHE	RSA	AES 128 CBC	SHA1
TLS_DH_anon_WITH_AES_128_CBC_SHA	DH	NULL	AES 128 CBC	SHA1
TLS_RSA_WITH_AES_256_CBC_SHA	RSA	RSA	AES 256 CBC	SHA1
TLS_DH_DSS_WITH_AES_256_CBC_SHA	DH	DSS	AES 256 CBC	SHA1
TLS_DH_RSA_WITH_AES_256_CBC_SHA	DH	RSA	AES 256 CBC	SHA1
TLS_DHE_DSS_WITH_AES_256_CBC_SHA	DHE	DSS	AES 256 CBC	SHA1
TLS_DHE_RSA_WITH_AES_256_CBC_SHA	DHE	RSA	AES 256 CBC	SHA1
TLS_DH_anon_WITH_AES_256_CBC_SHA	DH	NULL	AES 256 CBC	SHA1

TABLE 5.6 – Algorithmes supplémentaires AES - RFC3268 TLS1

**Algorithmes supplémentaires de la RFC 4132** La RFC 4132 [42] apporte également une liste supplémentaire utilisant l'algorithme de chiffrement Camellia (cf. tableau 5.7).

Identifiant	KeyExch	Authn	Enc	MAC
TLS_RSA_WITH_CAMELLIA_128_CBC_SHA	RSA	RSA	Camellia 128 CBC	SHA1
TLS_DH_DSS_WITH_CAMELLIA_128_CBC_SHA	DH	DSS	Camellia 128 CBC	SHA1
TLS_DH_RSA_WITH_CAMELLIA_128_CBC_SHA	DH	RSA	Camellia 128 CBC	SHA1
TLS_DHE_DSS_WITH_CAMELLIA_128_CBC_SHA	DHE	DSS	Camellia 128 CBC	SHA1
TLS_DHE_RSA_WITH_CAMELLIA_128_CBC_SHA	DHE	RSA	Camellia 128 CBC	SHA1
TLS_DH_anon_WITH_CAMELLIA_128_CBC_SHA	DH	NULL	Camellia 128 CBC	SHA1
TLS_RSA_WITH_CAMELLIA_256_CBC_SHA	RSA	RSA	Camellia 256 CBC	SHA1
TLS_DH_DSS_WITH_CAMELLIA_256_CBC_SHA	DH	DSS	Camellia 256 CBC	SHA1
TLS_DH_RSA_WITH_CAMELLIA_256_CBC_SHA	DH	RSA	Camellia 256 CBC	SHA1
TLS_DHE_DSS_WITH_CAMELLIA_256_CBC_SHA	DHE	DSS	Camellia 256 CBC	SHA1
TLS_DHE_RSA_WITH_CAMELLIA_256_CBC_SHA	DHE	RSA	Camellia 256 CBC	SHA1
TLS_DH_anon_WITH_CAMELLIA_256_CBC_SHA	DH	NULL	Camellia 256 CBC	SHA1

TABLE 5.7 – Algorithmes supplémentaires Camellia - RFC3268 TLS1

**Algorithmes supplémentaires de la RFC 4162** La RFC 4162 [36] ajoute l'algorithme de chiffrement SEED, dont la liste est consultable sur le tableau 5.8.

Identifiant	KeyExch	Authn	Enc	MAC
TLS_RSA_WITH_SEED_CBC_SHA	RSA	RSA	SEED CBC	SHA1
TLS_DH_DSS_WITH_SEED_CBC_SHA	DH	DSS	SEED CBC	SHA1
TLS_DH_RSA_WITH_SEED_CBC_SHA	DH	RSA	SEED CBC	SHA1
TLS_DHE_DSS_WITH_SEED_CBC_SHA	DHE	DSS	SEED CBC	SHA1
TLS_DHE_RSA_WITH_SEED_CBC_SHA	DHE	RSA	SEED CBC	SHA1
TLS_DH_anon_WITH_SEED_CBC_SHA	DH	NULL	SEED CBC	SHA1

TABLE 5.8 – Algorithmes supplémentaires SEED - RFC3268 TLS1

**Extensions TLS** Des extensions TLS du hello client sont décrites dans les RFC 3546 [5], 4366 [6], 4492 [4] et 4507 [53] :

- **Server Name Indication** : permet d'indiquer au serveur quel est le nom du serveur qu'il demande, cela est utilisé lorsqu'il y a plusieurs hôtes virtuels sur une même machine ;
- **Maximum Fragment Length Negotiation** : sans cette extension, TLS spécifie une taille maximale fixe de fragment à  $2^{14}$  octets. Cette extension permet aux clients d'adapter cette taille en fonction des limites de mémoire ou de bande passante. Valeurs autorisées :  $2^9, 2^{10}, 2^{11}, 2^{12}$ . Si la valeur n'est pas dans cette liste, le serveur doit interrompre la poignée de main.
- **Client Certificate URLs** : sans cette extension, TLS spécifie que lors l'authentification client, ce dernier doit envoyer son certificat pendant la poignée de main. Grâce à cette extension, le client peut économiser de l'espace disque en stockant son certificat à une autre adresse
- **Trusted CA Indication** : indique les clefs de CA racines possède le client
- **Truncated HMAC** : permet de tronquer le code MAC à 10 octets pour économiser de la bande passante
- **Certificate Status Request** : indique que le client souhaite vérifier la validité du certificat du serveur avec une requête OCSP par exemple
- **Supported Elliptic Curves** : indique les courbes elliptiques supportées par le client
- **Session Ticket** : permet de rétablir une session précédente

### 5.2.3.2 Implémentation

Pour les constantes représentant les algorithmes disponibles, tout est dans `ssl/tls1.h`. On y trouve également les algorithmes utilisant les courbes elliptiques décrits dans le draft <http://tools.ietf.org/html/draft-ietf-tls-ecc-12> :

```

1 #define TLS1_CK_ECDH_ECDSA_WITH_NULL_SHA          0x0300C001
2 #define TLS1_CK_ECDH_ECDSA_WITH_RC4_128_SHA       0x0300C002
3 #define TLS1_CK_ECDH_ECDSA_WITH_DES_192_CBC3_SHA  0x0300C003
4 #define TLS1_CK_ECDH_ECDSA_WITH_AES_128_CBC_SHA   0x0300C004
5 #define TLS1_CK_ECDH_ECDSA_WITH_AES_256_CBC_SHA   0x0300C005
6
7 #define TLS1_CK_ECDHE_ECDSA_WITH_NULL_SHA          0x0300C006
8 #define TLS1_CK_ECDHE_ECDSA_WITH_RC4_128_SHA       0x0300C007
9 #define TLS1_CK_ECDHE_ECDSA_WITH_DES_192_CBC3_SHA  0x0300C008
10 #define TLS1_CK_ECDHE_ECDSA_WITH_AES_128_CBC_SHA   0x0300C009
11 #define TLS1_CK_ECDHE_ECDSA_WITH_AES_256_CBC_SHA   0x0300C00A
12
13 #define TLS1_CK_ECDH_RSA_WITH_NULL_SHA             0x0300C00B
14 #define TLS1_CK_ECDH_RSA_WITH_RC4_128_SHA         0x0300C00C

```

```

15 #define TLS1_CK_ECDH_RSA_WITH_DES_192_CBC3_SHA      0x0300C00D
    #define TLS1_CK_ECDH_RSA_WITH_AES_128_CBC_SHA      0x0300C00E
17 #define TLS1_CK_ECDH_RSA_WITH_AES_256_CBC_SHA      0x0300C00F

19 #define TLS1_CK_ECDHE_RSA_WITH_NULL_SHA             0x0300C010
    #define TLS1_CK_ECDHE_RSA_WITH_RC4_128_SHA        0x0300C011
21 #define TLS1_CK_ECDHE_RSA_WITH_DES_192_CBC3_SHA    0x0300C012
    #define TLS1_CK_ECDHE_RSA_WITH_AES_128_CBC_SHA    0x0300C013
23 #define TLS1_CK_ECDHE_RSA_WITH_AES_256_CBC_SHA    0x0300C014

25 #define TLS1_CK_ECDH_anon_WITH_NULL_SHA            0x0300C015
    #define TLS1_CK_ECDH_anon_WITH_RC4_128_SHA        0x0300C016
27 #define TLS1_CK_ECDH_anon_WITH_DES_192_CBC3_SHA    0x0300C017
    #define TLS1_CK_ECDH_anon_WITH_AES_128_CBC_SHA    0x0300C018
29 #define TLS1_CK_ECDH_anon_WITH_AES_256_CBC_SHA    0x0300C019

31 #define TLS1_CK_RSA_WITH_AES_128_SHA                0x0300002F
    #define TLS1_CK_DH_DSS_WITH_AES_128_SHA           0x03000030
33 #define TLS1_CK_DH_RSA_WITH_AES_128_SHA            0x03000031
    #define TLS1_CK_DHE_DSS_WITH_AES_128_SHA          0x03000032
35 #define TLS1_CK_DHE_RSA_WITH_AES_128_SHA           0x03000033
    #define TLS1_CK_ADH_WITH_AES_128_SHA              0x03000034

37 #define TLS1_CK_RSA_WITH_AES_256_SHA                0x03000035
39 #define TLS1_CK_DH_DSS_WITH_AES_256_SHA            0x03000036
    #define TLS1_CK_DH_RSA_WITH_AES_256_SHA           0x03000037
41 #define TLS1_CK_DHE_DSS_WITH_AES_256_SHA           0x03000038
    #define TLS1_CK_DHE_RSA_WITH_AES_256_SHA          0x03000039
43 #define TLS1_CK_ADH_WITH_AES_256_SHA              0x0300003A

45 #define TLS1_CK_RSA_WITH_CAMELLIA_128_CBC_SHA      0x03000041
    #define TLS1_CK_DH_DSS_WITH_CAMELLIA_128_CBC_SHA 0x03000042
47 #define TLS1_CK_DH_RSA_WITH_CAMELLIA_128_CBC_SHA   0x03000043
    #define TLS1_CK_DHE_DSS_WITH_CAMELLIA_128_CBC_SHA 0x03000044
49 #define TLS1_CK_DHE_RSA_WITH_CAMELLIA_128_CBC_SHA 0x03000045
    #define TLS1_CK_ADH_WITH_CAMELLIA_128_CBC_SHA     0x03000046
    
```

Listing 5.3 – constantes protocole TLS

Pour ce qui est de la poignée de main, OpenSSL utilise la même fonction que pour SSL 3 : `ssl3_connect` (`s3_clnt.c`)/`ssl3_accept` (`s3_srvr.c`) et la gestion des extensions se trouve dans la fonction `ssl_scan_clienthello_tlsext` (`tl1_lib.c`).

### 5.2.3.3 Faillies

#### 5.2.3.3.1 Attaque sur le padding CBC de Serge Vaudenay

Voir 5.2.2.3.2

### 5.2.4 Audit 4 : TLS version 1.1

#### 5.2.4.1 Spécifications

La version 1.1 de TLS est spécifiée par la RFC 4346 [16]. Différences avec la version 1.0 :

Extension	Implémentée
Server Name Indication	oui (t1_lib.c)
Maximum Fragment Length Negotiation	non trouvée
Client Certificate URLs	non trouvée
Trusted CA Indication	non trouvée
Truncated HMAC	non trouvée
Certificate Status Request	oui (t1_lib.c)
Supported Elliptic Curves	oui (t1_lib.c)
Session Ticket	oui (t1_lib.c)

TABLE 5.9 – Gestion des extensions dans la poignée de main avec OpenSSL

Identifiant	KeyExch	Authn	Enc	MAC
TLS_SRP_SHA_WITH_3DES_EDE_CBC_SHA	SRP SHA1	SRP SHA1	3DES CBC	SHA1
TLS_SRP_SHA_RSA_WITH_3DES_EDE_CBC_SHA	SRP SHA1	RSA	3DES CBC	SHA1
TLS_SRP_SHA_DSS_WITH_3DES_EDE_CBC_SHA	SRP SHA1	DSS	3DES CBC	SHA1
TLS_SRP_SHA_WITH_AES_128_CBC_SHA	SRP SHA1	SRP SHA1	AES 128 CBC	SHA1
TLS_SRP_SHA_RSA_WITH_AES_128_CBC_SHA	SRP SHA1	RSA	AES 128 CBC	SHA1
TLS_SRP_SHA_DSS_WITH_AES_128_CBC_SHA	SRP SHA1	DSS	AES 128 CBC	SHA1
TLS_SRP_SHA_WITH_AES_256_CBC_SHA	SRP SHA1	SRP SHA1	AES 256 CBC	SHA1
TLS_SRP_SHA_RSA_WITH_AES_256_CBC_SHA	SRP SHA1	RSA	AES 256 CBC	SHA1
TLS_SRP_SHA_DSS_WITH_AES_256_CBC_SHA	SRP SHA1	DSS	AES 256 CBC	SHA1

TABLE 5.10 – Algorithmes supplémentaires RFC 5054 TLSv1.1

- l'IV implicite est remplacé par une IV explicite (protection contre les attaques sur CBC : <http://www.openssl.org/~bodo/tls-cbc.txt>);
- utilisation de l'alerte `bad_record_mac` plutôt que `decryption_failed` lors des erreurs de padding;
- les sessions fermées prématurément peuvent être reprises.

**Algorithmes supplémentaires de la RFC 5054** La RFC 5054 [60] ajoute l'échange de clef/authentification SRP, listé sur le tableau 5.10

**Extensions TLS** Une extension TLS du hello client est décrite dans la RFC 5054 :

- **srp** : permet d'indiquer le support d'algorithmes d'échange de clefs/authentification SRP ;

#### 5.2.4.2 Implémentation

On retrouve les constantes dans `ssl/tls1.h` :

```
/* SRP ciphersuites from RFC 5054 */
#define TLS1_CK_SRP_SHA_WITH_3DES_EDE_CBC_SHA    0x0300C01A
#define TLS1_CK_SRP_SHA_RSA_WITH_3DES_EDE_CBC_SHA 0x0300C01B
#define TLS1_CK_SRP_SHA_DSS_WITH_3DES_EDE_CBC_SHA 0x0300C01C
#define TLS1_CK_SRP_SHA_WITH_AES_128_CBC_SHA     0x0300C01D
#define TLS1_CK_SRP_SHA_RSA_WITH_AES_128_CBC_SHA 0x0300C01E
#define TLS1_CK_SRP_SHA_DSS_WITH_AES_128_CBC_SHA 0x0300C01F
```



```
#define TLS1_CK_SRP_SHA_WITH_AES_256_CBC_SHA      0x0300C020
#define TLS1_CK_SRP_SHA_RSA_WITH_AES_256_CBC_SHA  0x0300C021
#define TLS1_CK_SRP_SHA_DSS_WITH_AES_256_CBC_SHA  0x0300C022
```

### 5.2.4.3 Failles

#### 5.2.4.3.2 CVE-2012-2333

Un integer underflow permettait de causer un déni de service dans les protocoles TLS 1.1, 1.2 et DTLS. Cette faille [11] a été publiée le 10 mai 2012 par Codenomicon et affecte les versions d’OpenSSL suivantes :

- < 0.9.8x
- 1.0.0x < 1.0.0j
- 1.0.1x < 1.0.0c

Cette faille a été trouvée grâce à l’outil Fuzz-o-Matic développé par Codenomicon.

La correction suivante a été appliquée le même jour par l’équipe d’OpenSSL :

```
diff --git a/ssl/t1_enc.c b/ssl/t1_enc.c
index 201ca9a..f7bdeb3 100644
--- a/ssl/t1_enc.c
+++ b/ssl/t1_enc.c
@@ -889,6 +889,8 @@
     if (s->version >= TLS1_1_VERSION
        && EVP_CIPHER_CTX_mode(ds) == EVP_CIPH_CBC_MODE)
     {
+        if (bs > (int)rec->length)
+            return -1;
         rec->data += bs;    /* skip the explicit IV */
         rec->input += bs;
         rec->length -= bs;
```

Ici, la variable `bs` est la taille de bloc utilisée dans l’algorithme de chiffrement. On constate que, sans vérification, il était possible de déplacer les pointeurs `rec->data`, `rec->input` et `rec->length` au-delà de la longueur du paquet et ainsi créer une erreur de segmentation.

#### 5.2.4.3.3 Lucky Thirteen CVE-2013-0169

Cette attaque [44] a été trouvée par Nadhem Alfaridan et Kenny Paterson de l’Université de Londres le 5 février 2005 et a été corrigée par Adam Langley et Emilia Kasper. Versions touchées :

- ≤ 1.0.1c
- ≤ 1.0.0j
- 0.9.8x

Cette attaque reprend le principe de l’attaque de Vaudenay (5.2.2.3.2).

Lorsqu’un message chiffré incorrect est reçu, un message d’erreur fatale est renvoyé vers l’expéditeur. Cependant, le temps de génération de ce message d’erreur dépend du nombre d’octets valides, utilisé par un haché MAC. Un attaquant peut donc injecter des messages chiffrés erronés dans une session TLS/DTLS en mode CBC, et mesurer le temps nécessaire à la génération du message d’erreur, afin de progressivement



déterminer le contenu en clair de la session.

Il faut  $2^{23}$  sessions TLS pour retrouver un bloc en clair. Pour mener l'attaque, le client TLS doit alors continuer en permanence à ouvrir une nouvelle session, dès que la précédente s'est terminée en erreur fatale.

## 5.2.5 Audit 5 : TLS version 1.2

### 5.2.5.1 Spécifications

La version 1.2 de TLS est décrite dans la RFC 5246 [17].

**Algorithmes supplémentaires de la RFC 5289** La RFC 5289 [52] ajoute les codes MAC SHA256 et SHA384 ainsi que le mode GCM (Galois Counter Mode), rapportés dans le tableau 5.11.

Identifiant	KeyExch	Authn	Enc	MAC
TLS_ECDHE_ECDSA_WITH_AES_128_CBC_SHA256	ECDHE	ECDSA	AES 128 CBC	SHA256
TLS_ECDHE_ECDSA_WITH_AES_256_CBC_SHA384	ECDHE	ECDSA	AES 256 CBC	SHA384
TLS_ECDH_ECDSA_WITH_AES_128_CBC_SHA256	ECDH	ECDSA	AES 128 CBC	SHA256
TLS_ECDH_ECDSA_WITH_AES_256_CBC_SHA384	ECDH	ECDSA	AES 256 CBC	SHA256
TLS_ECDHE_RSA_WITH_AES_128_CBC_SHA256	ECDHE	RSA	AES 128 CBC	SHA256
TLS_ECDHE_RSA_WITH_AES_256_CBC_SHA384	ECDHE	RSA	AES 256 CBC	SHA384
TLS_ECDH_RSA_WITH_AES_128_CBC_SHA256	ECDH	RSA	AES 128 CBC	SHA256
TLS_ECDH_RSA_WITH_AES_256_CBC_SHA384	ECDH	RSA	AES 256 CBC	SHA384
TLS_ECDHE_ECDSA_WITH_AES_128_GCM_SHA256	ECDHE	ECDSA	AES 128 GCM	SHA256
TLS_ECDHE_ECDSA_WITH_AES_256_GCM_SHA384	ECDHE	ECDSA	AES 256 GCM	SHA384
TLS_ECDH_ECDSA_WITH_AES_128_GCM_SHA256	ECDH	ECDSA	AES 128 GCM	SHA256
TLS_ECDH_ECDSA_WITH_AES_256_GCM_SHA384	ECDH	ECDSA	AES 256 GCM	SHA384
TLS_ECDHE_RSA_WITH_AES_128_GCM_SHA256	ECDHE	RSA	AES 128 GCM	SHA256
TLS_ECDHE_RSA_WITH_AES_256_GCM_SHA384	ECDHE	RSA	AES 256 GCM	SHA384
TLS_ECDH_RSA_WITH_AES_128_GCM_SHA256	ECDH	RSA	AES 128 GCM	SHA256
TLS_ECDH_RSA_WITH_AES_256_GCM_SHA384	ECDH	RSA	AES 256 GCM	SHA384

TABLE 5.11 – Algorithmes supplémentaires - RFC 5289 TLSv1.2

### 5.2.5.2 Implémentation

On retrouve les constantes dans `ssl/tls1.h` :

```

2  /* ECDH HMAC based ciphersuites from RFC5289 */
3  #define TLS1 CK_ECDHE_ECDSA_WITH_AES_128_SHA256      0x0300C023
4  #define TLS1 CK_ECDHE_ECDSA_WITH_AES_256_SHA384      0x0300C024
5  #define TLS1 CK_ECDH_ECDSA_WITH_AES_128_SHA256      0x0300C025
6  #define TLS1 CK_ECDH_ECDSA_WITH_AES_256_SHA384      0x0300C026
7  #define TLS1 CK_ECDHE_RSA_WITH_AES_128_SHA256      0x0300C027
8  #define TLS1 CK_ECDHE_RSA_WITH_AES_256_SHA384      0x0300C028
9  #define TLS1 CK_ECDH_RSA_WITH_AES_128_SHA256      0x0300C029
10 #define TLS1 CK_ECDH_RSA_WITH_AES_256_SHA384      0x0300C02A
11
12 /* ECDH GCM based ciphersuites from RFC5289 */
13 #define TLS1 CK_ECDHE_ECDSA_WITH_AES_128_GCM_SHA256 0x0300C02B

```

```
14 #define TLS1_CK_ECDHE_ECDSA_WITH_AES_128_GCM_SHA256 0x0300C02D
    #define TLS1_CK_ECDHE_ECDSA_WITH_AES_256_GCM_SHA384 0x0300C02E
16 #define TLS1_CK_ECDHE_RSA_WITH_AES_128_GCM_SHA256 0x0300C02F
    #define TLS1_CK_ECDHE_RSA_WITH_AES_256_GCM_SHA384 0x0300C030
18 #define TLS1_CK_ECDH_RSA_WITH_AES_128_GCM_SHA256 0x0300C031
    #define TLS1_CK_ECDH_RSA_WITH_AES_256_GCM_SHA384 0x0300C032
```

Listing 5.4 – Constantes TLS 1.2

### 5.2.5.3 Failles

#### 5.2.5.3.1 CVE-2012-2333

Voir 5.2.4.3.2

#### 5.2.5.3.2 CVE-2013-6449

Cette faille a été découverte en novembre 2013 et a été corrigée le 19 décembre 2013 par l'équipe d'OpenSSL. Elle affecte les versions < 1.0.2. Elle consiste à créer un déni de service du serveur en envoyant une structure de données mal formée. Le crash se situe dans la fonction `ssl_get_algorithm2` du fichier `ssl/s3_lib.c`. Le patch correctif :

```
1 index bf832bb..c4ef273 100644 (file)
   --- a/ssl/s3_lib.c
   +++ b/ssl/s3_lib.c
   @@ -4286,7 +4286,7 @@ need to go to SSL_ST_ACCEPT.
    long ssl_get_algorithm2(SSL *s)
    {
    7     long alg2 = s->s3->tmp.new_cipher->algorithm2;
   -     if (TLS1_get_version(s) >= TLS1_2_VERSION &&
    9 +     if (s->method->version == TLS1_2_VERSION &&
        alg2 == (SSL_HANDSHAKE_MAC_DEFAULT|TLS1_PRF))
    11         return SSL_HANDSHAKE_MAC_SHA256 | TLS1_PRF_SHA256;
        return alg2;
```

Listing 5.5 – patch-cve-2013-6449

## Conclusion

Ceci est la conclusion

# Bibliographie

- [1] 3RD, D. E., SCHILLER, J., AND CROCKER, S. Randomness Requirements for Security. RFC 4086 (Best Current Practice), June 2005.
- [2] AMAURY, AND MICHEL, B. Debian : Découverte d'une faille de sécurité critique dans openssl de debian. <http://linuxfr.org/news/d%C3%A9couverte-dune-faille-de-s%C3%A9curit%C3%A9-critique-dans-openssl-de-deb>, Mai 2008.
- [3] ARCHLINUX. Random number generation. [https://wiki.archlinux.org/index.php/Random\\_Number\\_Generation](https://wiki.archlinux.org/index.php/Random_Number_Generation).
- [4] BLAKE-WILSON, S., BOLYARD, N., GUPTA, V., HAWK, C., AND MOELLER, B. Elliptic Curve Cryptography (ECC) Cipher Suites for Transport Layer Security (TLS). RFC 4492 (Informational), May 2006. Updated by RFCs 5246, 7027.
- [5] BLAKE-WILSON, S., NYSTROM, M., HOPWOOD, D., MIKKELSEN, J., AND WRIGHT, T. Transport Layer Security (TLS) Extensions. RFC 3546 (Proposed Standard), June 2003. Obsoleted by RFC 4366.
- [6] BLAKE-WILSON, S., NYSTROM, M., HOPWOOD, D., MIKKELSEN, J., AND WRIGHT, T. Transport Layer Security (TLS) Extensions. RFC 4366 (Proposed Standard), Apr. 2006. Obsoleted by RFCs 5246, 6066, updated by RFC 5746.
- [7] BLEICHENBACHER, D. Chosen ciphertext attacks against protocols based on the rsa encryption standard pkcs #1. <http://archiv.infsec.ethz.ch/education/fs08/secsem/Bleichenbacher98.pdf>, 1998.
- [8] BOBLET, M., AND WONG, E. Openssl prng is not (really) fork-safe. <http://emboss.github.io/blog/2013/08/21/openssl-prng-is-not-really-fork-safe/>, Août 2013.
- [9] BUCKSH, B., KUEBART, J., MAXWELL, G., AND THOR-LANCELOT, S. Netbsd security advisory 2013-003. <http://ftp.netbsd.org/pub/NetBSD/security/advisories/NetBSD-SA2013-003.txt.asc>, Mars 2013.
- [10] CHOWN, P. Advanced Encryption Standard (AES) Ciphersuites for Transport Layer Security (TLS). RFC 3268 (Proposed Standard), June 2002. Obsoleted by RFC 5246.
- [11] CODEMICON. Cve-2012-2333. <https://cve.mitre.org/cgi-bin/cvename.cgi?name=CVE-2012-2333>, 2012.
- [12] DEBIAN-SECURITY. Bulletin d'alerte debian : Générateur de nombres aléatoires prévisibles. <https://www.debian.org/security/2008/dsa-1571>.
- [13] DEBIAN-SECURITY. dowkd.pl. <http://security.debian.org/project/extra/dowkd/dowkd.pl.gz>.
- [14] DEBIAN-SECURITY. openssl-blacklist.deb. <https://packages.debian.org/fr/sid/openssl-blacklist>.
- [15] DIERKS, T., AND ALLEN, C. The TLS Protocol Version 1.0. RFC 2246 (Proposed Standard), Jan. 1999. Obsoleted by RFC 4346, updated by RFCs 3546, 5746, 6176.
- [16] DIERKS, T., AND RESCORLA, E. The Transport Layer Security (TLS) Protocol Version 1.1. RFC 4346 (Proposed Standard), Apr. 2006. Obsoleted by RFC 5246, updated by RFCs 4366, 4680, 4681, 5746, 6176.
- [17] DIERKS, T., AND RESCORLA, E. The Transport Layer Security (TLS) Protocol Version 1.2. RFC 5246 (Proposed Standard), Aug. 2008. Updated by RFCs 5746, 5878, 6176.
- [18] DUCKLIN, P. The openssl software bug that saves you from surveillance! <http://nakedsecurity.sophos.com/2013/12/22/the-openssl-software-bug-that-saves-you-from-surveillance/>, Décembre 2013.

- [19] EKR. Security impact of the rizzo/duong cbc "beast" attack. [http://www.educatedguesswork.org/2011/09/security\\_impact\\_of\\_the\\_rizzodu.html](http://www.educatedguesswork.org/2011/09/security_impact_of_the_rizzodu.html), Septembre 2011.
- [20] FLUHRER, S., MANTIN, I., AND SHAMIR, A. Weaknesses in the key scheduling algorithm of rc4. In *PROCEEDINGS OF THE 4TH ANNUAL WORKSHOP ON SELECTED AREAS OF CRYPTOGRAPHY* (2001), pp. 1–24.
- [21] FREIER, A., KARLTON, P., AND KOCHER, P. The Secure Sockets Layer (SSL) Protocol Version 3.0. RFC 6101 (Historic), Aug. 2011.
- [22] GALLAGHER, S. New javascript hacking tool can intercept paypal, other secure sessions. <http://arstechnica.com/business/2011/09/new-javascript-hacking-tool-can-intercept-paypal-other-secure-sessions/>, Septembre 2011.
- [23] GEORGIEV, M., IYENGAR, S., JANA, S., ANUBHAI, R., BONEH, D., AND SHMATIKOV, V. The most dangerous code in the world : Validating ssl certificates in non-browser software. [http://www.cs.utexas.edu/~shmat/shmat\\_ccs12.pdf](http://www.cs.utexas.edu/~shmat/shmat_ccs12.pdf), Octobre 2012.
- [24] GOODIN, D. Severe openssl vuln busts public key crypto. [http://www.theregister.co.uk/2010/03/04/severe\\_openssl\\_vulnerability/](http://www.theregister.co.uk/2010/03/04/severe_openssl_vulnerability/), Mars 2010.
- [25] GOODIN, D. Hackers break ssl encryption used by millions of sites. [http://www.theregister.co.uk/2011/09/19/beast\\_exploits\\_paypal\\_ssl/?page=2](http://www.theregister.co.uk/2011/09/19/beast_exploits_paypal_ssl/?page=2), Septembre 2011.
- [26] GREEN, M. On the nsa. <http://blog.cryptographyengineering.com/2013/09/on-nsa.html>, Septembre 2013.
- [27] GUNDERSON, S. H. Some maths. [http://plog.sesse.net/blog/tech/2008-05-14-17-21\\_some\\_maths.html](http://plog.sesse.net/blog/tech/2008-05-14-17-21_some_maths.html), Mai 2008.
- [28] HICKMAN, K. E. The ssl protocol. <http://tools.ietf.org/html/draft-hickman-netscape-ssl-00>, 1995.
- [29] IMPERIALVIOLET. Chrome and the beast. <https://www.imperialviolet.org/2011/09/23/chromeandbeast.html>, Septembre 2011.
- [30] JOHANSSON, A. Cve-2013-4353. <http://cve.mitre.org/cgi-bin/cvename.cgi?name=CVE-2013-4353>, 2013.
- [31] JONSSON, J., AND KALISKI, B. Public-Key Cryptography Standards (PKCS) #1 : RSA Cryptography Specifications Version 2.1. RFC 3447 (Informational), Feb. 2003.
- [32] KELSEY, J., AND BARKER, E. Recommendation for random number generation using deterministic random bit generators. <http://csrc.nist.gov/publications/nistpubs/800-90A/SP800-90A.pdf>, Janvier 2012.
- [33] KLYUBIN, A. Some securerandom thoughts. <http://android-developers.blogspot.de/2013/08/some-securerandom-thoughts.html>, Août 2013.
- [34] LANGLEY, A. Cve-2011-4576. <http://cve.mitre.org/cgi-bin/cvename.cgi?name=CVE-2011-4576>, 2011.
- [35] LAWSON, N. Advances in rsa fault attacks. <http://rdist.root.org/2008/03/10/advances-in-rsa-fault-attacks/>, Mars 2008.
- [36] LEE, H., YOON, J., AND LEE, J. Addition of SEED Cipher Suites to Transport Layer Security (TLS). RFC 4162 (Proposed Standard), Aug. 2005.
- [37] MANDALIA, R. Report : Nsa paid rsa \$10m to use dual ec drbg as preferred random number generator. <http://www.techienews.co.uk/973955/report-nsa-paid-rsa-10m-use-dual-ec-drbg-preferred-random-number-generator/>, Décembre 2013.
- [38] MENN, J. Snowden disclosures prompt warning on widely used computer security formula. <http://www.reuters.com/article/2013/09/23/us-usa-security-snowden-rsa-idUSBRE98M06Q20130923>, Septembre 2013.
- [39] MICHAELIS, K., MEYER, C., AND SCHWENK, J. Randomly failed! the state of randomness in current java implementations. [http://www.nds.rub.de/media/nds/veroeffentlichungen/2013/03/25/paper\\_2.pdf](http://www.nds.rub.de/media/nds/veroeffentlichungen/2013/03/25/paper_2.pdf), 2013.
- [40] MIROS. Miros manual : arandom, prandom, random, srandom, urandom, wrandom. <https://www.mirbsd.org/htman/i386/man4/arandom.htm>, Octobre 2013.

- [41] MOELLER, B. Tls insecurity (attack on cbc). <http://www.openssl.org/~bodo/tls-cbc.txt>, Septembre 2001.
- [42] MORIAI, S., KATO, A., AND KANDA, M. Addition of Camellia Cipher Suites to Transport Layer Security (TLS). RFC 4132 (Proposed Standard), July 2005. Obsoleted by RFC 5932.
- [43] MUELLER, S. Entropy generator with 100 kb/s throughput. <http://lkm1.iu.edu/hypermail/linux/kernel/1302.1/00479.html>, Février 2013.
- [44] NADHEM ALFARDAN, K. P. Cve-2013-0169. <https://cve.mitre.org/cgi-bin/cvename.cgi?name=CVE-2013-0169>, 2013.
- [45] NETBSD. Diff for /src/sys/kern/subr\_cprng.c between version 1.14 and 1.15. [http://cvsweb.netbsd.org/bsdweb.cgi/src/sys/kern/subr\\_cprng.c.diff?r1=1.14&r2=1.15&only\\_with\\_tag=MAIN&f=h](http://cvsweb.netbsd.org/bsdweb.cgi/src/sys/kern/subr_cprng.c.diff?r1=1.14&r2=1.15&only_with_tag=MAIN&f=h), Janvier 2013.
- [46] NICKLESS, B. Software rsa encryption broken with oaep padding. <http://sourceforge.net/p/trousers/bugs/126/>, Décembre 2009.
- [47] NIST. Nist opens draft special publication 800-90a, recommendation for random number generation using deterministic random bit generators, for review and comment. [http://csrc.nist.gov/publications/nistbul/it1bul2013\\_09\\_supplemental.pdf](http://csrc.nist.gov/publications/nistbul/it1bul2013_09_supplemental.pdf), Septembre 2013.
- [48] NSA-TOP-SECRET. Ts//si//nf. <http://s3.documentcloud.org/documents/784159/sigintenabling-clean-1.pdf>, 2013.
- [49] PATRICK. Journal faille de sécurité critique dans le générateur pseudo-aléatoire de netbsd 6.0. [http://linuxfr.org/users/patrick\\_g/journaux/faille-de-securite-critique-dans-le-generateur-pseudo-aleatoire-de-netbsd-6-0](http://linuxfr.org/users/patrick_g/journaux/faille-de-securite-critique-dans-le-generateur-pseudo-aleatoire-de-netbsd-6-0), Mars 2013.
- [50] PELLEGRINI, A., BERTACCO, V., AND AUSTIN, T. Fault-based attack of rsa authentication. <http://web.eecs.umich.edu/~valeria/research/publications/DATE10RSA.pdf>, 2010.
- [51] RESCORLA, E. Diffie-Hellman Key Agreement Method. RFC 2631 (Proposed Standard), June 1999.
- [52] RESCORLA, E. TLS Elliptic Curve Cipher Suites with SHA-256/384 and AES Galois Counter Mode (GCM). RFC 5289 (Informational), Aug. 2008.
- [53] SALOWEY, J., ZHOU, H., ERONEN, P., AND TSCHOFENIG, H. Transport Layer Security (TLS) Session Resumption without Server-Side State. RFC 4507 (Proposed Standard), May 2006. Obsoleted by RFC 5077.
- [54] SCHNEIER, B. Did nsa put a secret backdoor in new encryption standard? [http://www.wired.com/politics/security/commentary/securitymatters/2007/11/securitymatters\\_1115](http://www.wired.com/politics/security/commentary/securitymatters/2007/11/securitymatters_1115), Novembre 2007.
- [55] SCHNEIER, B. Defending against crypto backdoors. [https://www.schneier.com/blog/archives/2013/10/defending\\_again\\_1.html](https://www.schneier.com/blog/archives/2013/10/defending_again_1.html), Octobre 2013.
- [56] SCHOENMAKERS, B., AND SIDORENKO, A. Cryptanalysis of the dual elliptic curve pseudorandom generator. <http://s3.documentcloud.org/documents/786216/cryptanalysis-of-the-dual-elliptic-curve.pdf>, Mai 2006.
- [57] SECURITY, O. Openssl security advisory - cve-2008-5077. [https://www.openssl.org/news/secadv\\_20090107.txt](https://www.openssl.org/news/secadv_20090107.txt), Janvier 2009.
- [58] SHUMOW, D., AND FERGUSON, N. On the possibility of a back door in the nist sp800-90 dual ec prng. <http://rump2007.cr.yp.to/15-shumow.pdf>, 2007.
- [59] STRENTZKE, F. Manger's attack revisited. [http://www.cdc.informatik.tu-darmstadt.de/reports/reports/mangers\\_attack\\_revisited.pdf](http://www.cdc.informatik.tu-darmstadt.de/reports/reports/mangers_attack_revisited.pdf), 2010.
- [60] TAYLOR, D., WU, T., MAVROGIANNOPOULOS, N., AND PERRIN, T. Using the Secure Remote Password (SRP) Protocol for TLS Authentication. RFC 5054 (Informational), Nov. 2007.
- [61] TURNER, S., AND POLK, T. Prohibiting Secure Sockets Layer (SSL) Version 2.0. RFC 6176 (Proposed Standard), Mar. 2011.
- [62] US-CERT/NIST. Vulnerability details : Cve-2009-0021. <http://www.cvedetails.com/cve/CVE-2009-0021/>, Janvier 2009.

- [63] US-CERT/NIST. Vulnerability summary for cve-2008-5077. <http://web.nvd.nist.gov/view/vuln/detail?vulnId=CVE-2008-5077>, Juillet 2009.
- [64] U.S.\_DEPARTMENT\_OF\_COMMERCE. Fips publication 140-2 : Security requirements for cryptographic modules. <http://csrc.nist.gov/publications/fips/fips140-2/fips1402.pdf>, Mai 2001.
- [65] VAUDENAY, S., 2002.
- [66] WARNER, B. Egd : The entropy gathering daemon. <http://egd.sourceforge.net/>, Juillet 2002.
- [67] WIKIPEDIA. Cryptgenrandom. <http://en.wikipedia.org/wiki/CryptGenRandom>.
- [68] WIKIPEDIA. Révélation d'edward snowden. [http://fr.wikipedia.org/wiki/R%C3%A9v%C3%A9lations\\_d%27Edward\\_Snowden](http://fr.wikipedia.org/wiki/R%C3%A9v%C3%A9lations_d%27Edward_Snowden), 2013-2014.